

## 素数の数え上げと乗法的関数の和

えびちゃん (rsk0315)

Jun. 29, 2022 @ ねこねこ勉強ばーてい

更新：Jul. 2 00:56, 2022 (7e4c096)

# 目標

以下のことがわかるようになる：

- $\mathbb{N} \cap [1, n]$  の素数の個数  $\pi(n)$  や  $k$  乗和<sup>1</sup>を求める
  - in  $O(n^{3/4}/\log(n))$  time
  - in  $O(n^{2/3})$  time
  - in  $O(n^{2/3}/\log(n)^{1/3})$  time
- 乗法的関数  $f$  について  $\sum_{i=1}^n f(i)$  を求める
  - in  $O(n^{3/4}/\log(n))$  time? ← 解析は未解決
  - in  $O(n^{2/3})$  time

---

<sup>1</sup> $k$  は定数とする。

# 記法に関して I

任意の二項演算  $\circ: S \times T \rightarrow S$  と  $(x, y) \in S \times T$  に対して、

$$x \stackrel{\circ}{\leftarrow} y$$

で、 $x \leftarrow x \circ y$  を表すものとする。 $x += y$  のような気持ち<sup>2</sup>。

特に、今回の内容においては、 $x \leftarrow x - (y - z)$  の括弧を省いて  
 $x \stackrel{-}{\leftarrow} y - z$  と書けるのがうれしい。

---

<sup>2</sup>L<sup>A</sup>T<sub>E</sub>X で  $x += y$  などと書くのは見栄えが悪くて好きではない。

## 記法に関して II

擬似コード中において、ループ順が重要なときは列の形で

**foreach**  $i \leftarrow (1, \dots, n)$  **do**

と書き、そうでないときは集合の形で

**foreach**  $i \in \{1, \dots, n\}$  **do**

と書いている。

変数への代入には  $v \leftarrow a$  を用いるが、定数の宣言のときには  $v = a$  を用いることもある。

# まずは愚直から I

---

## Algorithm 2.1: 愚直に数え上げ

---

```

1 function PRIMECOUNT-NAÏVE( $n$ )
2    $\pi \leftarrow 0$ 
3   foreach  $i \in \{2, \dots, n\}$  do
4     if  $i$  is prime then                                ▷ 試し割り法で判定
5        $\pi \leftarrow^+ 1$ 
6   return  $\pi$ 

```

---

これは  $\Theta(n^{3/2}/\log(n))$  時間。

$1/\log(n)$  は、各試し割りに必要な回数の解析に基づく<sup>3</sup>。

---

<sup>3</sup>[https://twitter.com/259\\_Momone/status/1443890427514351622](https://twitter.com/259_Momone/status/1443890427514351622) など。

## まずは愚直から II

---

### Algorithm 2.2: 篩で数え上げ

---

```

1 function PRIMECOUNT-SIEVE( $n$ )
2    $\pi \leftarrow 0$ 
3   foreach  $i \in \{2, \dots, n\}$  do
4     if  $i$  is prime then
5        $\pi \xleftarrow{+} 1$ 
6   return  $\pi$ 

```

▷ 篩で判定

---

これは  $\Theta(n)$  時間。

Eratoſthenes の篩では  $\Theta(n \log(\log(n)))$  時間だが、用いる篩として線形篩<sup>4</sup>などを採用することで  $\Theta(n)$  時間になる。

---

<sup>4</sup>詳しくは触れない。今回の話には特に出ない。

## まずは愚直から III

陽に素数を調べる方針では、 $O(n^{1-\varepsilon})$  時間にはできない。

- $[1, n]$  の整数をすべて調べると  $\Omega(n)$  時間かかる。
- $[1, n]$  の素数だけを列挙できたとしても  $\Omega(\pi(n))$  時間かかる<sup>5</sup>。
  - $\pi(n) \sim n/\log(n)$  なので、 $\Omega(n/\log(n))$  時間。

そこで、陽には調べない方針を考える必要がある。

---

<sup>5</sup> $\pi(n)$  は  $n$  以下の素数の個数。 $\pi(1) = 0, \pi(7) = \pi(8) = 4, \pi(12.3) = 5$  など。

# 篩の復習

Eratoſthenes の篩の動作の様子を眺める。

	2	3	4	5	6	7	8	9	10
11	12	13	14	15	16	17	18	19	20
21	22	23	24	25	26	27	28	29	30
31	32	33	34	35	36	37	38	39	40
41	42	43	44	45	46	47	48	49	50
51	52	53	54	55	56	57	58	59	60
61	62	63	64	65	66	67	68	69	70
71	72	73	74	75	76	77	78	79	80
81	82	83	84	85	86	87	88	89	90
91	92	93	94	95	96	97	98	99	100

Figure: 篩の初期状態。



# 篩の復習

Eratoſthenes の篩の動作の様子を眺める。

	2	3	4	5	6	7	8	9	10
11	12	13	14	15	16	17	18	19	20
21	22	23	24	25	26	27	28	29	30
31	32	33	34	35	36	37	38	39	40
41	42	43	44	45	46	47	48	49	50
51	52	53	54	55	56	57	58	59	60
61	62	63	64	65	66	67	68	69	70
71	72	73	74	75	76	77	78	79	80
81	82	83	84	85	86	87	88	89	90
91	92	93	94	95	96	97	98	99	100

Figure: 篩。2 で篩っている様子。

# 篩の復習

Eratoſthenes の篩の動作の様子を眺める。

	2	3	4	5	6	7	8	9	10
11	12	13	14	15	16	17	18	19	20
21	22	23	24	25	26	27	28	29	30
31	32	33	34	35	36	37	38	39	40
41	42	43	44	45	46	47	48	49	50
51	52	53	54	55	56	57	58	59	60
61	62	63	64	65	66	67	68	69	70
71	72	73	74	75	76	77	78	79	80
81	82	83	84	85	86	87	88	89	90
91	92	93	94	95	96	97	98	99	100

Figure: 篩。3 で篩っている様子。

# 篩の復習

Eratoſthenes の篩の動作の様子を眺める。

	2	3	4	5	6	7	8	9	10
11	12	13	14	15	16	17	18	19	20
21	22	23	24	25	26	27	28	29	30
31	32	33	34	35	36	37	38	39	40
41	42	43	44	45	46	47	48	49	50
51	52	53	54	55	56	57	58	59	60
61	62	63	64	65	66	67	68	69	70
71	72	73	74	75	76	77	78	79	80
81	82	83	84	85	86	87	88	89	90
91	92	93	94	95	96	97	98	99	100

Figure: 篩。素数でないとわかった 4 では篩わない。

# 篩の復習

Eratoſthenes の篩の動作の様子を眺める。

	2	3	4	5	6	7	8	9	10
11	12	13	14	15	16	17	18	19	20
21	22	23	24	25	26	27	28	29	30
31	32	33	34	35	36	37	38	39	40
41	42	43	44	45	46	47	48	49	50
51	52	53	54	55	56	57	58	59	60
61	62	63	64	65	66	67	68	69	70
71	72	73	74	75	76	77	78	79	80
81	82	83	84	85	86	87	88	89	90
91	92	93	94	95	96	97	98	99	100

Figure: 篩。5 で篩っている様子。

# 篩の復習

Eratoſthenes の篩の動作の様子を眺める。

	2	3	4	5	6	7	8	9	10
11	12	13	14	15	16	17	18	19	20
21	22	23	24	25	26	27	28	29	30
31	32	33	34	35	36	37	38	39	40
41	42	43	44	45	46	47	48	49	50
51	52	53	54	55	56	57	58	59	60
61	62	63	64	65	66	67	68	69	70
71	72	73	74	75	76	77	78	79	80
81	82	83	84	85	86	87	88	89	90
91	92	93	94	95	96	97	98	99	100

Figure: 篩。素数でないとわかった6では篩わない。

# 篩の復習

Eratoſthenes の篩の動作の様子を眺める。

	2	3	4	5	6	7	8	9	10
11	12	13	14	15	16	17	18	19	20
21	22	23	24	25	26	27	28	29	30
31	32	33	34	35	36	37	38	39	40
41	42	43	44	45	46	47	48	49	50
51	52	53	54	55	56	57	58	59	60
61	62	63	64	65	66	67	68	69	70
71	72	73	74	75	76	77	78	79	80
81	82	83	84	85	86	87	88	89	90
91	92	93	94	95	96	97	98	99	100

Figure: 篩。7 で篩っている様子。

# 篩の復習

Eratoſthenes の篩の動作の様子を眺める。

	2	3	4	5	6	7	8	9	10
11	12	13	14	15	16	17	18	19	20
21	22	23	24	25	26	27	28	29	30
31	32	33	34	35	36	37	38	39	40
41	42	43	44	45	46	47	48	49	50
51	52	53	54	55	56	57	58	59	60
61	62	63	64	65	66	67	68	69	70
71	72	73	74	75	76	77	78	79	80
81	82	83	84	85	86	87	88	89	90
91	92	93	94	95	96	97	98	99	100

Figure: 篩。素数でないことがわかった 8 から 10 では篩わない。

# 篩の復習

Eratoſthenes の篩の動作の様子を眺める。

	2	3	4	5	6	7	8	9	10
11	12	13	14	15	16	17	18	19	20
21	22	23	24	25	26	27	28	29	30
31	32	33	34	35	36	37	38	39	40
41	42	43	44	45	46	47	48	49	50
51	52	53	54	55	56	57	58	59	60
61	62	63	64	65	66	67	68	69	70
71	72	73	74	75	76	77	78	79	80
81	82	83	84	85	86	87	88	89	90
91	92	93	94	95	96	97	98	99	100

Figure: 篩。  $\sqrt{100}$  以下の素数で篩った様子。残りは素数。



# 重要な観察

「素数  $i$  によって篩われる整数は何個あるか？」

- これを  $2 \leq i \leq \sqrt{n}$  の各素数について考える。
- それらの和を  $n-1$  から引けば  $n$  以下の素数の個数がわかる。


→ というわけで、これを高速に求めたい。

# 篩われる個数を求める I

どのような数が篩われるかを考える。

	2	3	4	5	6	7	8	9	10
11	12	13	14	15	16	17	18	19	20
21	22	23	24	25	26	27	28	29	30
31	32	33	34	35	36	37	38	39	40
41	42	43	44	45	46	47	48	49	50

Figure: 3 で篩っている様子。


 $= \{9, 15, 21, 27, 33, 39, 45\}$   
 $= \{3 \cdot j \mid j \in \{3, 5, 7, 9, 11, 13, 15\}\}.$

## 篩われる個数を求める II

$i$  で篩われる個数は、以下の値の差から求められる。

- $\lfloor n/i \rfloor$  以下のうち、 $i$  未満の素数では篩われなかった個数
  - $(i, n) = (3, 50)$  では  $|\{2, 3, 5, 7, 9, 11, 13, 15\}| = 8$
- $i$  未満の整数の個数
  - $i = 3$  では  $|\{2\}| = 1$

	2	3	4	5	6	7	8	9	10
11	12	13	14	15	16	17	18	19	20
21	22	23	24	25	26	27	28	29	30
31	32	33	34	35	36	37	38	39	40
41	42	43	44	45	46	47	48	49	50

Figure:  $\{3 \cdot j \mid j \in \{3, 5, 7, 9, 11, 13, 15\}\}$  の 7 個が 3 で篩われる様子。

# 篩われる個数を求める III

以下の値は、 $i$  以前に篩われていることに注意。

- $i$  未満の素数  $j$  に対し、 $i \cdot j$ 。
- $i$  未満の素数で篩われた整数  $j$  に対し、 $i \cdot j$ 。

	2	3	4	5	6	7	8	9	10
11	12	13	14	15	16	17	18	19	20
21	22	23	24	25	26	27	28	29	30
31	32	33	34	35	36	37	38	39	40
41	42	43	44	45	46	47	48	49	50
51	52	53	54	55	56	57	58	59	60

Figure:  $\{5 \cdot j \mid j \in \{5, 7, 11\}\}$  が 5 で篩われる様子。

たとえば  $15 = 5 \cdot 3$  や、 $20 = 5 \cdot (2 \cdot 2)$  は、すでに篩われている。

## 篩われる個数を求める IV

以下の値を求めればよいとわかった。

- $\lfloor n/i \rfloor$  以下のうち、 $i$  未満の素数では篩われなかった個数
- $i$  未満の整数の個数  $\pi(i-1)$

そこで、以下のようにおく。

$S_i(v) := v$  以下のうち  $i$  以下の素数では篩われなかった個数

$i$  で篩うとき、得ているのは  $S_{i-1}(v)$  で、得たいのは  $S_i(v)$ 。  
特に、初め  $S_1(v) = v - 1$ 。また、 $S_{i-1}(i-1) = \pi(i-1)$ 。

# 篩われる個数を求める $V$

$S_i(v)$  を求めたい。

- $i$  が素数でない場合
  - $S_i(v) = S_{i-1}(v)$
  - 篩う処理をしないため。
- $i^2 > v$  の場合
  - $S_i(v) = S_{i-1}(v)$
  - 判明する最小の合成数  $i^2$  が範囲外のため。

## 篩われる個数を求める VI

$S_i(v)$  を求めたい。 $i^2 \leq v$  なる素数  $i$  について考える。

$i$  で篩われる個数は

- $\lfloor v/i \rfloor$  以下のうち、 $i$  未満の素数では篩われなかった個数
- $i$  未満の整数の個数

の差だったので、

$$S_i(v) = S_{i-1}(v) - (S_{i-1}(\lfloor v/i \rfloor) - \pi(i-1))$$

とわかる。

## 篩われる個数を求める VII

以下を求めたくなった。

$$S_i(n) = S_{i-1}(n) - (S_{i-1}(\lfloor n/i \rfloor) - \pi(i-1)).$$

右辺に  $S_{i-1}(\lfloor n/i \rfloor)$  があるため、 $S_*(\lfloor n/* \rfloor)$  も求める必要がある<sup>6</sup>。

ここで、 $\lfloor \lfloor n/i \rfloor / j \rfloor = \lfloor n / ij \rfloor$  に注意すると、 $\lfloor n/* \rfloor$  の取りうる値は

$$\underbrace{1, 2, \dots, \lfloor \sqrt{n} \rfloor}_{i \ (1 \leq i \leq \sqrt{n})}, \underbrace{\lfloor n / \lfloor \sqrt{n} \rfloor \rfloor, \dots, \lfloor n/2 \rfloor, n}_{\lfloor n/i \rfloor \ (1 \leq i \leq \sqrt{n})}$$

の  $O(\sqrt{n})$  通りしかないことがわかる<sup>7, 8</sup>。

<sup>6</sup>\* は wild card。

<sup>7</sup> $\lfloor n / \lfloor \sqrt{n} + 1 \rfloor \rfloor \leq \lfloor n / \sqrt{n} \rfloor = \lfloor \sqrt{n} \rfloor$  から従う。

<sup>8</sup> $\lfloor \sqrt{n} \rfloor = \lfloor n / \lfloor \sqrt{n} \rfloor \rfloor$  は成り立ったり成り立たなかったりするので注意。



# Lucy DP I

よって、長さ  $O(\sqrt{n})$  の配列<sup>9</sup>を管理して DP すればよい。

更新順に気をつければ、DP 配列を使い回して

$$\text{dp}[n/j] \leftarrow \text{dp}[\lfloor n/(i \cdot j) \rfloor] - \pi(i-1)$$

と更新できる。

$n/j \geq i^2$  なる  $(i, j)$  についてのみ更新するように気をつける。

考案者 Lucy\_Hedgehog の名前から、主に Project Euler 界限では Lucy DP と呼ばれている。

---

<sup>9</sup> $i, \lfloor n/i \rfloor$  ( $1 \leq i \leq \sqrt{n}$ ) で 2 本持つなり、配列の前後で分けるなりする。

# Lucy DP II — 擬似コード

---

## Algorithm 2.3: Lucy DP

---

```

1 function PRIMECOUNT-LUCY( $n$ )
2    $R \leftarrow (\lfloor n/i \rfloor - 1)_{i=1}^{\lfloor \sqrt{n} \rfloor}$ 
3    $L \leftarrow (i-1)_{i=1}^{\lfloor n/\lfloor \sqrt{n} \rfloor \rfloor}$ 
4   foreach  $i \leftarrow (2, 3, \dots, \lfloor \sqrt{n} \rfloor)$  do
5     if  $L_i \leq L_{i-1}$  then continue  $\triangleright i$  is prime  $\iff L_i > L_{i-1}$ 
6      $\pi_{i-1} = L_{i-1}$   $\triangleright \pi_{i-1} = \pi(i-1)$ 
7     foreach  $j \leftarrow (1, 2, \dots, \lfloor \sqrt{n} \rfloor)$  do
8       if  $\lfloor n/j \rfloor < i^2$  then break
9        $(L_{\lfloor n/j \rfloor} \text{ or } R_j) \leftarrow (L_{\lfloor n/ij \rfloor} \text{ or } R_{ij}) - \pi_{i-1}$ 
10    foreach  $j \leftarrow (\lfloor n/\lfloor \sqrt{n} \rfloor \rfloor - 1, \dots, 2, 1)$  do
11      if  $j < i^2$  then break
12       $L_j \leftarrow L_{\lfloor j/i \rfloor} - \pi_{i-1}$ 
13    return  $R_1$ 

```

---

# Lucy DP III

擬似コード中の  $A_i$  or  $B_j$  は

- $A_i$  が定義されていれば  $A_i$
- そうでなければ  $B_j$

を意味するものとする。

$S_{i-1}(i) > S_{i-1}(i-1)$  のとき、 $i$  が素数となることに注意せよ<sup>10</sup>。  
ループ先頭において、 $S_{i-1}(v) = L(v)$  である。

また、10 行目のループの都合で、 $L$  の長さを  $\lfloor n/\lfloor \sqrt{n} \rfloor \rfloor$  とした。

---

<sup>10</sup>個数の差分を見れば、条件を満たすかの判定ができるということ。

## Lucy DP IV — 計算量解析

9 行目と 12 行目の実行回数を見積もる。

7 行目より  $j \leq \lfloor \sqrt{n} \rfloor \leq \sqrt{n}$ 、8 行目より  $n/j \geq \lfloor n/j \rfloor \geq i^2$  で<sup>11</sup>、  
9 行目の実行回数は高々  $\min\{\sqrt{n}, n/i^2\}$ 。

10 行目より  $j < \lfloor n/\lfloor \sqrt{n} \rfloor \rfloor = \sqrt{n} + o(1)$ 、11 行目より  $j \geq i^2$  で、  
12 行目の実行回数は高々  $\max\{\sqrt{n} - i^2 + o(1), 0\}$ 。

これらを、各素数  $i$  について足し合わせればよい。

<sup>11</sup> $j$  について不等式を解き、 $j$  の取る範囲が実行回数に相当する。

# Lucy DP V — 計算量解析

$$\begin{aligned}
 & \int_{x=2}^{\sqrt{n}} \min\{\sqrt{n}, n/x^2\} d\pi(x) + \int_{x=2}^{\sqrt{n}} \max\{\sqrt{n} - x^2, 0\} d\pi(x) \\
 &= \sqrt{n} \int_2^{\sqrt[4]{n}} d\pi(x) + n \int_{\sqrt[4]{n}}^{\sqrt{n}} \frac{d\pi(x)}{x^2} + \int_2^{\sqrt[4]{n}} (\sqrt{n} - x^2) d\pi(x) \\
 &= 2\sqrt{n} \int_2^{\sqrt[4]{n}} d\pi(x) + n \int_{\sqrt[4]{n}}^{\sqrt{n}} \frac{d\pi(x)}{x^2} - \int_2^{\sqrt[4]{n}} x^2 d\pi(x).
 \end{aligned}$$

ここで

$$\pi(x) \sim \frac{x}{\log(x)}$$

であり、

$$d\pi(x) \sim \frac{\log(x) - 1}{\log(x)^2} dx.$$

# Lucy DP VI — 計算量解析

$\text{Ei}(\log(x)) = \text{li}(x) \sim x/\log(x)$  より、

$$\begin{aligned}
 \int \frac{d\pi(x)}{x^2} &\sim \int \frac{\log(x) - 1}{x^2 \log(x)^2} dx \\
 &= \frac{1}{x \log(x)} + 2 \text{Ei}(-\log(x)) + \text{const} \\
 &= \frac{1}{x \log(x)} + 2 \text{li}(x^{-1}) + \text{const} \\
 &\sim -\frac{1}{x \log(x)}.
 \end{aligned}$$

ここで、 $\text{Ei}(x)$  と  $\text{li}(x)$  はそれぞれ指数積分と対数積分を表す<sup>12</sup>。

---

<sup>12</sup> この辺は [Wolfram|Alpha](#) や [Integral Calculator](#) を頼った。

# Lucy DP VII — 計算量解析

残りの項も同様に計算する。

$$\begin{aligned}
 \int x^2 d\pi(x) &\sim \int \frac{x^2(\log(x) - 1)}{\log(x)^2} dx \\
 &= \frac{x^3}{\log(x)} - 2 \operatorname{Ei}(3 \log(x)) + \operatorname{const} \\
 &= \frac{x^3}{\log(x)} - 2 \operatorname{li}(x^3) + \operatorname{const} \\
 &\sim \frac{x^3}{3 \log(x)}.
 \end{aligned}$$

# Lucy DP VIII — 計算量解析

以上より、

$$\begin{aligned}
 & 2\sqrt{n} \int_2^{\sqrt[4]{n}} d\pi(x) + n \int_{\sqrt[4]{n}}^{\sqrt{n}} \frac{d\pi(x)}{x^2} - \int_2^{\sqrt[4]{n}} x^2 d\pi(x) \\
 & \sim 2\sqrt{n} \left[ \frac{x}{\log(x)} \right]_2^{\sqrt[4]{n}} - n \left[ \frac{1}{x \log(x)} \right]_{\sqrt[4]{n}}^{\sqrt{n}} - \left[ \frac{x^3}{3 \log(x)} \right]_2^{\sqrt[4]{n}} \\
 & = \dots \\
 & = O\left(\frac{n^{3/4}}{\log(n)}\right).
 \end{aligned}$$

実際には、 $d\pi(x)$  が絡む積分は、係数を気にしなければ、 $dx$  で積分して  $\log(n)$  で割ってもうまくいくことが多そう<sup>13</sup>。

<sup>13</sup>ところで **Riemann–Stieltjes 積分** とかで調べるとよい？



## Lucy DP IX — 総和への応用

$S_i(v)$  の代わりに以下のようにおく。

$S_i^1(v) := v$  以下のうち  $i$  以下の素数で篩われていない素数の総和

初期化と更新は以下の通り。

$$S_1^1(v) = \sum_{i=2}^v i = \left\lfloor \frac{v \cdot (v+1)}{2} \right\rfloor - 1,$$

$$S_i^1(v) = S_{i-1}^1(v) - i \cdot (S_{i-1}^1(\lfloor v/i \rfloor) - S_{i-1}^1(i-1)).$$

同様にして、2 乗和  $S_i^2(v)$  などとも求められる<sup>14</sup>。

<sup>14</sup>経緯としては、元々は総和  $S_i^1(v)$  を求める問題の解法として提案された。

# 乗法的関数について

以下を満たす関数  $f$  を **乗法的関数** (*multiplicative function*) と呼ぶ。

- $f(1) = 1$ , and
- $\gcd(u, v) = 1 \implies f(uv) = f(u) \cdot f(v)$ .

たとえば、Euler の  $\phi$  関数は乗法的関数である。特に、

$$\phi\left(\prod_{p: \text{prime}} p^{e_p}\right) = \prod_{p: \text{prime}} (p-1) \cdot p^{e_p-1}$$

が成り立つ。

$$\text{e.g., } \phi(120) = \phi(2^3 \cdot 3 \cdot 5) = \underbrace{\phi(2^3)}_4 \cdot \underbrace{\phi(3)}_2 \cdot \underbrace{\phi(5)}_4 = 32.$$

# 乗法的関数の和

乗法的関数  $f$  に対して、 $\sum_{i=1}^n f(i)$  を高速に求めたくなる。

例として、1 以上  $n$  以下の整数の組のうち、互いに素なものは

$$\sum_{i=1}^n \phi(i)$$

と表せる（順序は区別しないとする）。

さて、 $1 < i \leq n$  の親を  $i/\text{gpf}(i)$  とする  $n$  頂点の木を考えてみる。  
ここで、 $\text{gpf}(i)$  は  $i$  の最大の素因数 (greatest prime factor) である。

図を次のページに載せる。

# 木

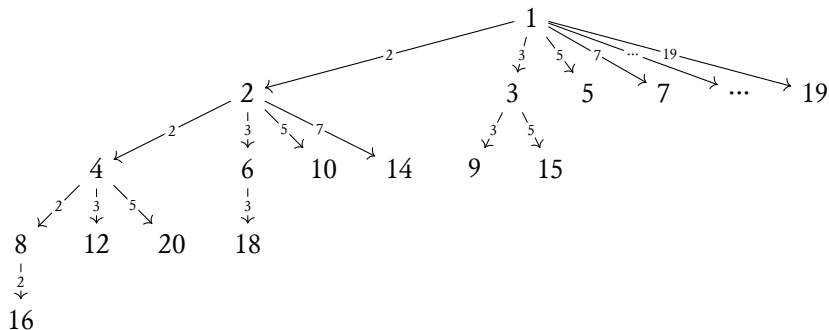


Figure:  $n = 20$  の木

# 子での値の和 I

$i$  の子は、 $j \in [\text{gpf}(i), n/i]$  の各素数  $j$  について  $i \cdot j$  と表せる。

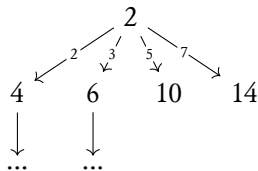


Figure:  $n = 20$  の木における  $i = 2$  の部分木

$j = \text{gpf}(i)$  とそれ以外の子に分けて、次のように表せる。

$$f(4) + f(6) + f(10) + f(14) = f(2^2) + f(2) \cdot (f(3) + f(5) + f(7)).$$

## 子での値の和 II

素因数が複数ある場合は少し注意が必要。

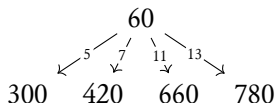


Figure: ある  $n$  の木における  $i = 60$  の子

$j = \text{gpf}(i)$  とそれ以外の子に分けて、次のように表せる。

$$\begin{aligned}
 & f(300) + f(420) + f(660) + f(780) \\
 &= f(12) \cdot f(5^2) + f(60) \cdot (f(7) + f(11) + f(13)).
 \end{aligned}$$

# 木上の DFS I

葉でない頂点  $v = (\prod_p p^{e_p}) \cdot q^c$  ( $\text{gpf}(v) = q$ ) にいるとき、

- $f(\prod_p p^{e_p}) \cdot f(q^{c+1})$
- $f(v) \cdot \sum_r f(r)$ 
  - $r$  は  $q < r \leq n/v$  を満たす素数

の和を求めればよい。葉でない頂点のみ探索するとする。

$f(\prod_p p^{e_p})$  や  $f(v)$ 、 $q^c$  などは DFS しながら管理すればよい<sup>15</sup>。

<sup>15</sup> 最大でない素因数の  $f$  と、最大素因数を分けて持てばよい。

## 木上の DFS II

$f(q^c)$  と  $\sum_r f(r)$  を高速に求められる必要がある。

- $f(q^c)$  の計算
  - $(q, c, q^c)$  などから  $O(1)$  時間で求まるのが望ましい。
- $\sum_r f(r)$  の計算・前処理
  - $f(r)$  が多項式なら Lucy DP などで求められる。
  - 高速に求められるなら、多項式でなくてもよい。



## 木上の DFS Ⅲ — 計算量解析（未解決）

葉以外の頂点  $\{i \mid i \cdot \text{gpf}(i) \leq n\}$  の個数を求めればよい。

$p \leq \sqrt[4]{n}$  なる各素数  $p$  について、

- $i \cdot p \leq n$ , and
- $\text{gpf}(i) = p$

なる  $i$  が  $O(\sqrt{n})$  個であれば、 $O(n^{3/4}/\log(n))$  個と示せる。

上記は未解決だが、 $n \leq 10^{12}$  の範囲では成り立っているそう。

See: <https://zhuanlan.zhihu.com/p/33544708>.

# Lucy DP の高速化

Lucy DP を  $O(n^{2/3})$  時間に高速化する。

元々の計算量は

$$\int_2^{\sqrt{n}} \min\{\sqrt{n}, n/x^2\} d\pi(x) + \int_2^{\sqrt{n}} \max\{\sqrt{n} - x^2, 0\} d\pi(x)$$

に由来するが、区間  $[2, \sqrt[6]{n}]$  と  $[\sqrt[3]{n}, \sqrt{n}]$  での積分を考えてみる。

# 定積分 I

$$\begin{aligned}
 & \int_2^{\sqrt[6]{n}} \min\{\sqrt{n}, n/x^2\} d\pi(x) + \int_2^{\sqrt[6]{n}} \max\{\sqrt{n} - x^2, 0\} d\pi(x) \\
 &= \sqrt{n} \int_2^{\sqrt[6]{n}} d\pi(x) + \int_2^{\sqrt[6]{n}} (\sqrt{n} - x^2) d\pi(x) \\
 &= 2\sqrt{n} \int_2^{\sqrt[6]{n}} d\pi(x) - \int_2^{\sqrt[6]{n}} x^2 d\pi(x) \\
 &\sim 2\sqrt{n} \left[ \frac{x}{\log(x)} \right]_2^{\sqrt[6]{n}} - \left[ \frac{x^3}{3 \log(x)} \right]_2^{\sqrt[6]{n}} \\
 &= O\left( \frac{n^{2/3}}{\log(n)} \right).
 \end{aligned}$$

# 定積分 II

$$\begin{aligned}
 & \int_{\sqrt[3]{n}}^{\sqrt{n}} \min\{\sqrt{n}, n/x^2\} d\pi(x) + \int_{\sqrt[3]{n}}^{\sqrt{n}} \max\{\sqrt{n} - x^2, 0\} d\pi(x) \\
 &= n \int_{\sqrt[3]{n}}^{\sqrt{n}} \frac{d\pi(x)}{x^2} \\
 &\sim n \left[ -\frac{1}{x \log(x)} \right]_{\sqrt[3]{n}}^{\sqrt{n}} \\
 &= O\left(\frac{n^{2/3}}{\log(n)}\right).
 \end{aligned}$$

## 場合分け

これにより、 $i \in [2, \sqrt[6]{n}] \cup [\sqrt[3]{n}, \sqrt{n}]$  なる素数  $i$  では、そのまま Lucy DP をしても  $O(n^{2/3}/\log(n))$  時間で抑えられるとわかる。

そこで、残りの  $(\sqrt[6]{n}, \sqrt[3]{n})$  の区間について考える。

$\text{dp}[n/j]$  の更新に関して、 $n/j \geq n^{2/3}$  すなわち  $j \leq \sqrt[3]{n}$  のときは、愚直に更新しても  $O(n^{2/3}/\log(n))$  回で済む<sup>16</sup>。

あとは、 $n/j < n^{2/3}$  について考えればよい。

---

<sup>16</sup> $i$  が高々  $n^{1/3}/\log(n)$  個、 $j$  が高々  $n^{1/3}$  個なので。

# 重要な事実

以下の事実に気をつける。

- $i$  で篩われる合成数  $v$  について、 $\text{lpf}(v) = i$  が成り立つ。
  - $\text{lpf}(v)$  は  $v$  の最小の素因数 (least prime factor) を表す。
  - ここでは  $\text{lpf}(1) = \infty$  としておく<sup>17</sup>。
- $\text{lpf}(v) \geq i$  なる  $v \leq n^{2/3}$  は  $\Theta(n^{2/3}/\log(n))$  個。
  - 解析に関しては後述の関数を参照。

→  $\text{lpf}(v) = i$  なる  $v$  を一つあたり  $O(1)$  時間で列挙できれば、  
 $i \in (n^{1/6}, n^{1/3})$  で篩われる数を陽に列挙しても大丈夫。

---

<sup>17</sup>有限の整数で 1 を篩うことはできないため？

# lpf(v) = i なる合成数 v の列挙 I

乗法的関数の和を求める際に作ったのと同様の木を DFS する。

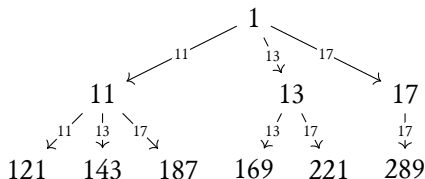


Figure: 木の一部

根 1 から最初に辿った値が最小素因数となることに注意する。  
たとえば、 $\text{lpf}(187) = 11$  とわかる。

素数  $i$  の深さは 1 であり、 $i$  の真の部分木の各数が求める  $v$  である。

## lpf(v) = i なる合成数 v の列挙 II

$n^{2/3}$  以下の合成数を列挙する際の空間計算量を確認する。

再帰で行う場合、深さは  $\log(n)$  段になるので問題ない。

stack を用いる場合について考える。素数  $i \in (n^{1/6}, n^{1/3})$  の子は

$$\frac{n^{2/3} / \log(n)}{n^{1/6}}$$

個程度あり、深さは高々  $\log(n)$  段なので、 $O(\sqrt{n})$  space で済む<sup>18</sup>。

<sup>18</sup> 深くなるにつれて子は減るので、粗い見積もりではありそう。



# 高速化の方針

$v$  が篩われていれば  $b_v = 1$ 、そうでないとき  $b_v = 0$  となる配列を

- $v$  を篩うとき、 $b_v \leftarrow^+ 1$  で更新する。
- $v$  以下の篩われた個数は、 $\sum_{i=1}^v b_i$  で取得する。

と管理すればよい。→ BIT を用いて  $O(\log(n))$  時間で可能<sup>19</sup>。

$n/j \geq n^{2/3}$  の Lucy DP と併せて、個数を求めることができる<sup>20</sup>。

更新は  $O(n^{2/3}/\log(n))$  回なので、 $O(n^{2/3})$  時間となる。

<sup>19</sup>実際には、 $v = \lfloor n/* \rfloor$  のみ管理すればよいので、 $O(\sqrt{n})$  space にできる。

<sup>20</sup> $n^{2/3}$  未満の範囲については Lucy DP をする代わりに、 $n^{2/3}$  以上の範囲の DP のための補助情報（篩われた個数）のみを管理するということ。

## 場合分けの remark

- $2 \leq i \leq n^{1/6}$ 
  - そのまま Lucy DP しても  $O(n^{2/3}/\log(n))$  時間。
- $n^{1/6} < i < n^{1/3}$ 
  - $n/j \geq n^{2/3}$ 
    - Lucy DP で  $O(n^{2/3}/\log(n))$  回の更新。
    - 更新の際は BIT から値を取得し、 $O(n^{2/3})$  時間。
  - $n/j < n^{2/3}$ 
    - $\text{lpf}(v) = i$  なる合成数  $v$  を列挙して BIT で管理する。
    - 操作ごとに  $O(\log(n))$  時間なので  $O(n^{2/3})$  時間。
- $n^{1/3} \leq i \leq n^{1/2}$ 
  - そのまま Lucy DP しても  $O(n^{2/3}/\log(n))$  時間。

# 実装

やや長くなるため、擬似コードは付録に載せる。

ここでは、 $i$  と  $\lfloor n/i \rfloor$  に対応する配列を分けて持つ方針ではなく、前半が  $\lfloor n/i \rfloor$ 、後半が  $i$  に対応する降順の列

$$A = (\perp, n, \lfloor n/2 \rfloor, \dots, \lfloor n/\lfloor \sqrt{n} \rfloor \rfloor, \lfloor n/\lfloor \sqrt{n} \rfloor \rfloor - 1, \dots, 2, 1)$$

に対し、 $dp[i]$  を  $S_*(A_i)$  に対応させる方針を採用した<sup>21</sup>。

$\lfloor n/k \rfloor$  に対応する要素の添字は

$$\text{if } k \leq \sqrt{n} \text{ then } k \text{ else } |A| - \lfloor n/k \rfloor$$

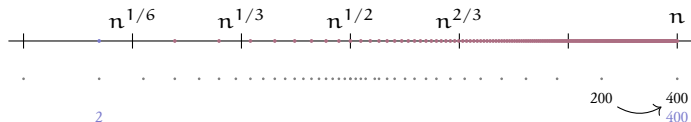
で取得できる。

---

<sup>21</sup>  $\perp$  はダミーの値。

## イメージ図

BIT など管理するイメージ図などを載せてみる。



$$\underbrace{dp[1]}_{S_1(400)=399} \leftarrow \underbrace{dp[2]}_{S_1(200)=199} - \underbrace{\pi(2-1)}_0$$

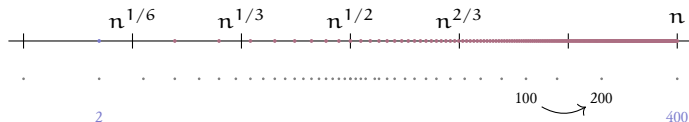
$$dp[1] = S_2(400) = 200$$

Figure: アルゴリズムの動きの概略<sup>22</sup>

<sup>22</sup>数直線が対数軸であることに注意。なお、ノーカット版は付録に掲載。

# イメージ図

BIT などで管理するイメージ図などを載せてみる。



$$\underbrace{dp[2]}_{S_1(200)=199} \leftarrow \underbrace{dp[4]}_{S_1(100)=99} - \underbrace{\pi(2-1)}_0$$

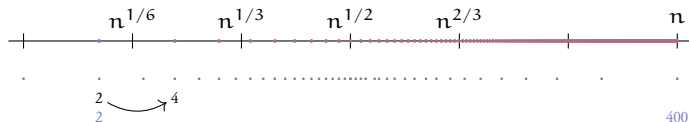
$$dp[2] = S_2(200) = 100$$

Figure: アルゴリズムの動きの概略<sup>22</sup>

<sup>22</sup>数直線が対数軸であることに注意。なお、ノーカット版は付録に掲載。

# イメージ図

BIT などで管理するイメージ図などを載せてみる。



$$\underbrace{\text{dp}[36]}_{\substack{S_1(4) \\ =3}} \leftarrow \underbrace{\text{dp}[38]}_{\substack{S_1(2) \\ =1}} - \underbrace{\pi(2-1)}_0$$

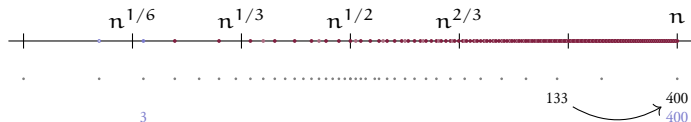
$$\text{dp}[36] = S_2(4) = 2$$

Figure: アルゴリズムの動きの概略<sup>22</sup>

<sup>22</sup>数直線が対数軸であることに注意。なお、ノーカット版は[付録](#)に掲載。

## イメージ図

BIT などで管理するイメージ図などを載せてみる。



$$\underbrace{dp[1]}_{S_2(400)=200} \leftarrow \underbrace{dp[3]}_{S_2(133)=67} - \underbrace{\pi(3-1)}_1$$

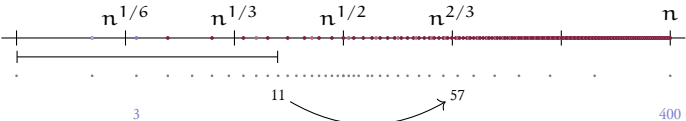
$$dp[1] = S_3(400) = 134$$

Figure: アルゴリズムの動きの概略<sup>22</sup>

<sup>22</sup> 数直線が対数軸であることに注意。なお、ノーカット版は[付録](#)に掲載。

# イメージ図

BIT などで管理するイメージ図などを載せてみる。



$$\underbrace{\text{dp}[7]}_{\substack{S_3(57) \\ =20}} \leftarrow \underbrace{\text{dp}[29]}_{\substack{S_2(11) \\ =6}} - \underbrace{|\{v \in (\mathbb{N} \setminus \mathbb{P}) \mid v \leq 11, \sqrt[6]{n} < \text{lpf}(v) < 5\}|}_{\substack{\{9\} \\ =1}} - \underbrace{\pi(5-1)}_2$$

$$\text{dp}[7] = S_5(57) = 17$$

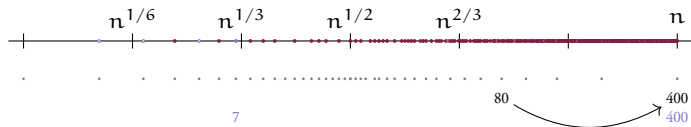
Figure: アルゴリズムの動きの概略<sup>22</sup>

<sup>22</sup>数直線が対数軸であることに注意。なお、ノーカット版は付録に掲載。



## イメージ図

BIT など管理するイメージ図などを載せてみる。



$$\underbrace{dp[1]}_{S_3(400)=134} \leftarrow \underbrace{dp[5]}_{S_3(80)=28} - \underbrace{\pi(5-1)}_2$$

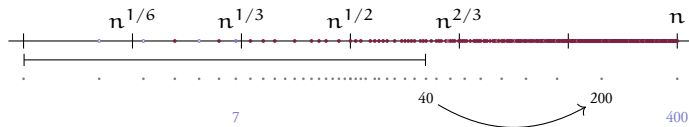
$$dp[1] = S_5(400) = 108$$

Figure: アルゴリズムの動きの概略<sup>22</sup>

<sup>22</sup>数直線が対数軸であることに注意。なお、ノーカット版は[付録](#)に掲載。

# イメージ図

BIT など管理するイメージ図などを載せてみる。



$$\underbrace{dp[2]}_{S_3(200)=68} \leftarrow \underbrace{dp[10]}_{S_2(40)=20} - \underbrace{|\{v \in (\mathbb{N} \setminus \mathbb{P}) \mid v \leq 40, \sqrt[6]{n} < \text{lpf}(v) < 5\}|}_{|\{9, 15, 21, 27, 33, 39\}|=6} - \underbrace{\pi(5-1)}_2$$

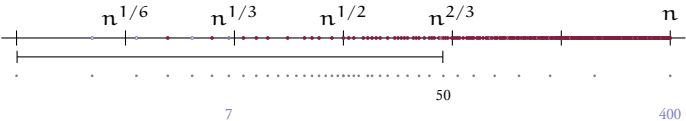
$$dp[2] = S_5(200) = 56$$

Figure: アルゴリズムの動きの概略<sup>22</sup>

<sup>22</sup> 数直線が対数軸であることに注意。なお、ノーカット版は[付録](#)に掲載。

# イメージ図

BIT など管理するイメージ図などを載せてみる。



$$\underbrace{\text{dp}[8]}_{\substack{S_2(50) \\ =25}} \leftarrow \underbrace{\left| \left\{ v \in (\mathbb{N} \setminus \mathbb{P}) \mid v \leq 50, \sqrt[6]{n} < \text{lpf}(v) < n^{2/3} \right\} \right|}_{\substack{|\{9, 15, 21, 25, 27, 33, 35, 39, 45\}| \\ =9}}$$

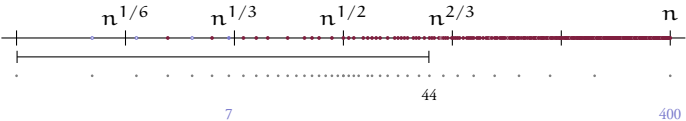
dp[8] = S<sub>5</sub>(50) = 16

Figure: アルゴリズムの動きの概略<sup>22</sup>

<sup>22</sup>数直線が対数軸であることに注意。なお、ノーカット版は付録に掲載。

# イメージ図

BIT などで管理するイメージ図などを載せてみる。



$$\underbrace{dp[9]}_{\substack{S_2(44) \\ =22}} \leftarrow \underbrace{\left| \left\{ v \in (\mathbb{N} \setminus \mathbb{P}) \mid v \leq 44, \sqrt[6]{n} < \text{lpf}(v) < n^{2/3} \right\} \right|}_{\substack{\{9, 15, 21, 25, 27, 33, 35, 39\} \\ =8}}$$

$$dp[9] = S_5(44) = 14$$

Figure: アルゴリズムの動きの概略<sup>22</sup>

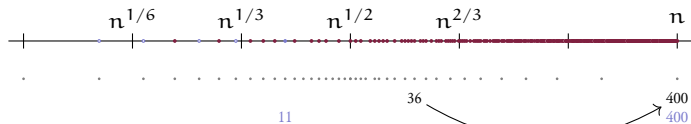
<sup>22</sup>数直線が対数軸であることに注意。なお、ノーカット版は[付録](#)に掲載。

素数の数え上げと乗法的関数の和

44 / 70  
えびちゃん

## イメージ図

BIT など管理するイメージ図などを載せてみる。



$$\underbrace{dp[1]}_{S_7(400)=94} \leftarrow \underbrace{dp[11]}_{S_7(36)=11} - \underbrace{\pi(11-1)}_4$$

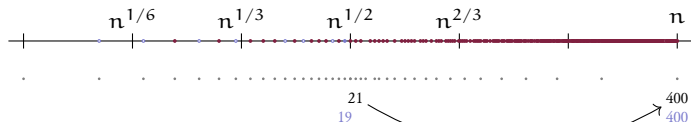
$$dp[1] = S_{11}(400) = 87$$

Figure: アルゴリズムの動きの概略<sup>22</sup>

<sup>22</sup> 数直線が対数軸であることに注意。なお、ノーカット版は[付録](#)に掲載。

## イメージ図

BITなどで管理するイメージ図などを載せてみる。



$$\underbrace{\text{dp}[1]}_{S_{17}(400)=79} \leftarrow \underbrace{\text{dp}[19]}_{S_{17}(21)=8} - \underbrace{\pi(19-1)}_7$$

$$\text{dp}[1] = S_{19}(400) = 78$$

Figure: アルゴリズムの動きの概略<sup>22</sup>

<sup>22</sup>数直線が対数軸であることに注意。なお、ノーカット版は[付録](#)に掲載。

# 解析に関する関数たち

- $\Phi(x, y)$ 
  - $x$  以下の正整数のうち、 $y$ -rough である個数を表す。
    - $y$ -rough: 最小素因数が  $y$  以上
  - $\Phi(x, x^{1/u}) \sim x \cdot \omega(u) / \log(x^{1/u})$ 
    - $\omega(u)$  は Buchstab function と呼ばれる。
- $\Psi(x, y)$ 
  - $x$  以下の正整数のうち、 $y$ -smooth である個数を表す。
    - $y$ -smooth ( $y$ -friable): 最大素因数が  $y$  以下
  - $\Psi(x, x^{1/a}) \sim x \cdot \rho(a)$ 
    - $\rho(a)$  は Dickman-de Bruijn function と呼ばれる。
    - $\rho(a) \approx a^{-a}$ 。

# さらなる高速化

区間の分け方を調整することで、log factor を減らせる。

- $2 \leq i \leq n^{1/6}$
- $n^{1/6} < i < n^{1/3} / \log(n)^{2/3}$ 
  - $n/j < n^{2/3} / \log(n)^{1/3}$  で分ける。
- $n^{1/3} / \log(n)^{2/3} \leq i \leq n^{1/2}$

各分岐で行うことは同じ。 $O(n^{2/3} / \log(n)^{1/3})$  時間になる。



## 高速化の概略

乗法的関数の和の計算を高速化する。

以下の流れで求める。

1. 素数  $p$  に対して  $f(p)$  の和を求める。
2.  $(\sqrt[3]{n} + 1)$ -rough number  $i$  に対して  $f(i)$  の和を求める。
3.  $(\sqrt[6]{n} + 1)$ -rough number  $i$  に対して  $f(i)$  の和を求める。
4. 整数  $i$  に対して  $f(i)$  の和を求める。

具体的な  $p$  や  $i$  の範囲などは次ページ以降で説明する。

# 記法の導入

- $p_k$  :  $k$  番目の素数 (e.g.  $p_1 = 2, p_2 = 3, p_3 = 5, \dots$ )
  - $(p_{\pi(i)})_{i=2}^{\infty} = (2, 3, 3, 5, 5, 7, 7, 7, 7, 11, 11, \dots)$  に注意。
- $S_{\mathbb{P}}^f(n) := \sum_{\substack{2 \leq p \leq n \\ p: \text{prime}}} f(p)$  : 素数における  $f$  の和
- $S_k^f(n) := \sum_{\substack{1 \leq i \leq n \\ \text{lpf}(i) \geq p_k}} f(i)$  :  $p_k$ -rough number における  $f$  の和
- $L(f, n) := (f(1), f(2), \dots, f(\lfloor \sqrt{n} \rfloor))$
- $R(f, n) := (f(\lfloor n/\lfloor \sqrt{n} \rfloor \rfloor), \dots, f(\lfloor n/2 \rfloor), f(n))$
- $V(f, n) := (L(f, n), R(f, n))$

# 素数での $f$ の和

まず、 $V(S_{\mathbb{P}}^f, n)$  を計算する。

Remark:

$$S_{\mathbb{P}}^f(n) := \sum_{\substack{2 \leq p \leq n \\ p: \text{prime}}} f(p).$$

各  $v = i$  ( $1 \leq i \leq \lfloor \sqrt{n} \rfloor$ ) と  $v = \lfloor n/i \rfloor$  ( $1 \leq i \leq \lfloor \sqrt{n} \rfloor$ ) に対して、 $v$  以下の素数  $p$  における  $f(p)$  の総和を求めるということ。

これは、素数  $p$  に対して  $f(p) = g(p)$  なる多項式  $g$  が存在すれば、先の高速化した Lucy DP で  $O(n^{2/3})$  時間で計算できる<sup>23</sup>。

---

<sup>23</sup> 素数  $p$  以外の部分は無視して、素数の部分さえ多項式で表せばよい。

## $(\sqrt[3]{n} + 1)$ -rough number での $f$ の和 I

$(\sqrt[3]{n} + 1)$ -rough number での  $f$  の和  $V(S_{\pi(\sqrt[3]{n}+1)}^f, n)$  を求める。

$\lfloor n/i \rfloor$  の値の範囲によって分けて考える。なお、簡便さのため、 $\sqrt[3]{n}$  を超える最小の素数  $p_{\pi(\sqrt[3]{n}+1)}$  を  $q$  とおく。

まず、 $q > \sqrt[3]{n}$  から、 $n^{1/3}$  以下の  $q$ -rough number は 1 のみ。

$m = \lfloor n/i \rfloor \leq n^{1/3}$  について、

$$S_{\pi(\sqrt[3]{n}+1)}^f(\lfloor n/i \rfloor) = f(1)$$

より、各  $m$  について  $O(1)$  時間で計算できる。

## $(\sqrt[3]{n} + 1)$ -rough number での $f$ の和 II

$q > \sqrt[3]{n}$  から、 $n^{2/3}$  以下の  $q$ -rough number の素因数は高々 1 つ<sup>24</sup>。

$m = \lfloor n/i \rfloor \in (n^{1/3}, n^{2/3}]$  について、

$$S_{\pi(\sqrt[3]{n})+1}^f(m) = f(1) + (S_{\mathbb{P}}^f(m) - S_{\mathbb{P}}^f(q-1))$$

より<sup>25</sup>、各  $m$  について  $O(1)$  時間で計算できる。

---

<sup>24</sup> $q^2 > n^{2/3}$  なので。

<sup>25</sup>累積和の差分を求めているだけ。

## $(\sqrt[3]{n} + 1)$ -rough number での $f$ の和 III

$q > \sqrt[3]{n}$  から、 $n$  以下の  $q$ -rough number の素因数は高々 2 つ。

$m = \lfloor n/i \rfloor \in (n^{2/3}, n]$  について、

$$S_{\pi(\sqrt[3]{n})+1}^f(m) = f(1) + (S_{\mathbb{P}}^f(m) - S_{\mathbb{P}}^f(q-1)) \\ + \sum_{j=\pi(\sqrt[3]{n})+1}^{\pi(\sqrt{m})} (f(p_j^2) + f(p_j) \cdot (S_{\mathbb{P}}^f(m/p_j) - S_{\mathbb{P}}^f(p_j))) .$$

より<sup>26</sup>、各  $m$  について  $O(\pi(\sqrt{m}))$  時間で計算できる。

<sup>26</sup>素因数に  $p_j$  を 2 つ持つ場合と、 $p_j$  と  $p_j$  以外を持つ場合で分ける。

# $(\sqrt[3]{n} + 1)$ -rough number での $f$ の和 IV — 計算量解析

各  $m = \lfloor n/i \rfloor$  について  $\Theta(\pi(m))$  時間かかるので、

$$\begin{aligned} \sum_{i=1}^{\lfloor n^{1/3} \rfloor} \pi(\sqrt{n/i}) &\sim \sum_{i=1}^{\lfloor n^{1/3} \rfloor} \sqrt{n/i} / \log(\sqrt{n/i}) \\ &\sim 2\sqrt{n} \int_1^{n^{1/3}} \frac{dx}{\sqrt{x} \log(n/x)}. \end{aligned}$$

ここで、

$$\begin{aligned} \int \frac{dx}{\sqrt{x} \log(n/x)} &= -2\sqrt{n} \operatorname{li}(\sqrt{x/n}) + \text{const} \\ &\sim \frac{4\sqrt{x}}{\log(n/x)}. \end{aligned}$$

# $(\sqrt[3]{n} + 1)$ -rough number での $f$ の和 $V$ — 計算量解析

よって、

$$\sum_{i=1}^{n^{1/3}} \pi(\sqrt{n/i}) \sim 8\sqrt{n} \left[ \frac{\sqrt{x}}{\log(n/x)} \right]_1^{n^{1/3}} \\ = \Theta(n^{2/3} / \log(n))$$

とわかる。



## $(\sqrt[6]{n} + 1)$ -rough number での $f$ の和 I

$(\sqrt[6]{n} + 1)$ -rough number での  $f$  の和  $V(S_{\pi(\sqrt[6]{n}+1)}^f, n)$  を求める。

$S_{k+1}^f$  から  $S_k^f$  を計算するための式

$$S_k^f(m) = \sum_{e=0}^{\lfloor \log_{p_k}(m) \rfloor} f(p_k^e) \cdot S_{k+1}^f(\lfloor m/p_k^e \rfloor)$$

を念頭におく<sup>27</sup>。

各  $k = \pi(\lfloor \sqrt[3]{n} \rfloor), \dots, \pi(\lfloor \sqrt[6]{n} \rfloor) + 1$  について、この式の通り愚直に更新すると  $\Theta(n^{5/6}/\log(n))$  時間かかるため、工夫が必要になる。

---

<sup>27</sup> $p_k$  の次数ごとに求めて足せばよいということ。

## $(\sqrt[6]{n} + 1)$ -rough number での $f$ の和 $\Pi$

高速化の方針は Lucy DP のときとほぼ同じ。

$m \geq n^{2/3}$  については

$$S_k^f(m) = \sum_{e=0}^{\lfloor \log_{p_k}(m) \rfloor} f(p_k^e) \cdot S_{k+1}^f(\lfloor m/p_k^e \rfloor)$$

で更新し、 $m < n^{2/3}$  については差分を BIT で管理する。

$\sqrt{n}$  以下の素数のみから  $n^{2/3}$  以下の合成数を網羅する部分で、 $(\sqrt[6]{n} + 1)$ -rough であることが効いている。

# $(\sqrt[6]{n} + 1)$ -rough number での $f$ の和 III — 計算量解析

$m \geq n^{2/3}$  における更新回数は

$$\begin{aligned}
 \sum_{i=\pi(\sqrt[6]{n})+1}^{\pi(\sqrt[3]{n})} \sum_{j=1}^{\lfloor \sqrt[3]{n} \rfloor} \log_{p_i}(n/j) &\leq \sum_{i=\pi(\sqrt[6]{n})+1}^{\pi(\sqrt[3]{n})} \sum_{j=1}^{\lfloor \sqrt[3]{n} \rfloor} \log_{\sqrt[6]{n}}(n) \\
 &= \sum_{i=\pi(\sqrt[6]{n})+1}^{\pi(\sqrt[3]{n})} \sum_{j=1}^{\lfloor \sqrt[3]{n} \rfloor} 6 \\
 &\sim \frac{n^{1/3}}{\frac{1}{3} \log(n)} \cdot 6 \cdot \lfloor \sqrt[3]{n} \rfloor \\
 &= O(n^{2/3} / \log(n))
 \end{aligned}$$

となる。

## $(\sqrt[6]{n} + 1)$ -rough number での $f$ の和 IV — 計算量解析

$m < n^{2/3}$  における更新回数に関する解析は Lucy DP と同じ。

$n^{2/3}$  以下の  $(\sqrt[6]{n} + 1)$ -rough number の個数に相当し、これは  $\Theta(n^{2/3}/\log(n))$  個であることが知られている。

各操作は BIT で行うため一回あたり  $O(\log(n))$  時間なので、  
 $(\sqrt[6]{n} + 1)$ -rough number での和は  $O(n^{2/3})$  時間で求められる。

## 2-rough number での $f$ の和 I

2-rough number での和  $V(S_1^f, n)$ 、すなわち全体の和を求める<sup>28</sup>。

$S_{k+1}^f$  から  $S_k^f$  を計算するための式

$$S_k^f(m) = \sum_{e=0}^{\lfloor \log_{p_k}(m) \rfloor} f(p_k^e) \cdot S_{k+1}^f(\lfloor m/p_k^e \rfloor)$$

を用いて、 $k = \pi(\lfloor \sqrt[6]{n} \rfloor), \dots, 2, 1$  と愚直に更新すればよい。

---

<sup>28</sup> $\text{lpf}(1) = \infty$  と定義したため、1 も 2-rough であることに注意せよ。

## 2-rough number での f の和 II — 計算量解析

計算量は以下のようになる。

$$\begin{aligned}
 & \sum_{i=1}^{\pi(\sqrt[6]{n})} \sum_{j=1}^{\lfloor \sqrt{n} \rfloor} (\log_{p_k}(n/i) + \log_{p_k}(i)) \\
 = & \sum_{i=1}^{\pi(\sqrt[6]{n})} \sum_{j=1}^{\lfloor \sqrt{n} \rfloor} \log_{p_k}(n) \\
 \leq & \sum_{i=1}^{\pi(\sqrt[6]{n})} \sum_{j=1}^{\lfloor \sqrt{n} \rfloor} \log_2(n) \\
 \sim & \frac{n^{1/6}}{\frac{1}{6} \log(n)} \sqrt{n} \cdot \log_2(n) = O(n^{2/3}).
 \end{aligned}$$

## 乗法的関数の和の高速化

乗法的関数  $f$  に対する  $\sum_{i=1}^n f(i)$  が  $O(n^{2/3})$  時間で得られた<sup>29</sup>。

素因数が高々 2 個であるための条件などと絡むため、Lucy DP のときのような方針では、log factor を減らせないと思われる。

なお、未調査だが、 $O(n^{2/3}/\log(n))$  time,  $O(\sqrt{n})$  space の手法も知られているらしい。

---

<sup>29</sup>実際には  $\Theta$  になるはず。

## 補足

前述の各手法で  $p_i$  を使っているが、必要になるのは  $p_i \leq \sqrt{n}$  の範囲のみ。予め篩などで列挙しておけばよく、たとえば線形篩を用いれば  $\langle O(\sqrt{n}), O(1) \rangle$  time,  $O(\sqrt{n})$  space で済む。

単純な乗法的関数として  $f(i) = i$  や  $f(i) = i^2$  などが挙げられる。テストを行う際にはそれを用いるのが便利だと思われる。



# 環境

実験に用いた環境は以下の通り。

PC	MacBook Pro (13-inch, M1, 2020)
メモリ	16 GB
言語	Rust, rustc 1.63.0-nightly (fdca237d5 2022-06-24)
最適化	-C opt-level=3
ツール	<b>Criterion.rs</b> (0.3.5)

# 計測結果 I

Lucy DP の亜種たちの実測の結果は以下の通り。

いずれもほぼ同じだが、 $n = 10^{10}$  程度で  $\Theta(n^{2/3}/\log(n)^{1/3})$  が優勢になっていた。 $n = 10^{13}$  で 1.6 秒程度であった。

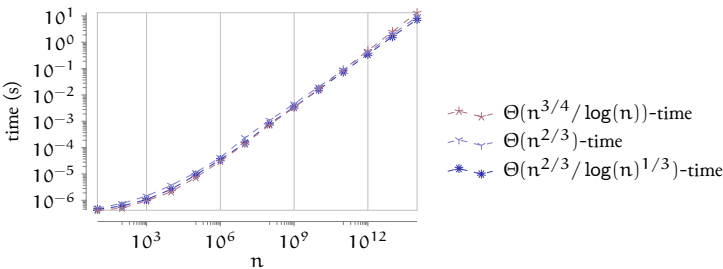


Figure: Lucy DP の計測結果

## 計測結果 II

Lucy DP の亜種たちの実測の結果は以下の通り。

いずれもほぼ同じだが、 $n = 10^{10}$  程度で  $\Theta(n^{2/3}/\log(n)^{1/3})$  が優勢になっていた。 $n = 10^{13}$  で 1.6 秒程度であった。

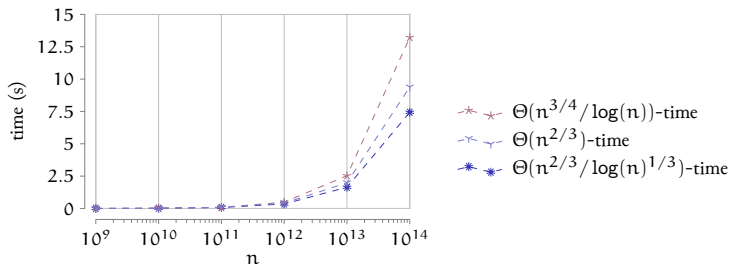


Figure: Lucy DP の計測結果

# 計測結果 III

乗法的関数の和を求めるアルゴリズムの実測の結果は以下の通り。

こちらも同じような感じ。定数倍が重めだが、 $n = 10^9$  程度で  $\Theta(n^{2/3})$  の方が優勢になり始めた。 $n = 10^{12}$  で 1.3 秒程度。

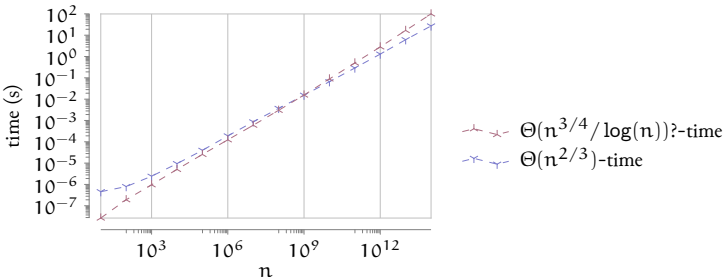


Figure: 乗法的関数の和の計測結果

## 計測結果 IV

乗法的関数の和を求めるアルゴリズムの実測の結果は以下の通り。

こちらと同じような感じ。定数倍が重めだが、 $n = 10^9$  程度で  $\Theta(n^{2/3})$  の方が優勢になり始めた。 $n = 10^{12}$  で 1.3 秒程度。

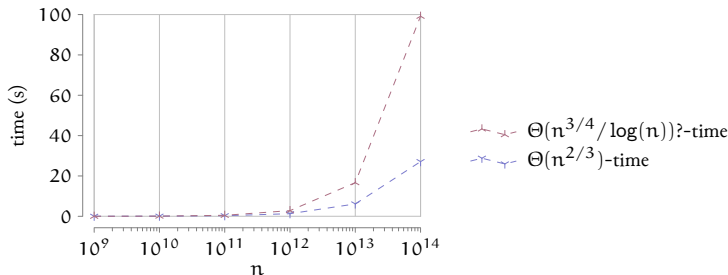


Figure: 乗法的関数の和の計測結果

# 求めた値

Table: 素数の個数と  $\phi(n)$  の和の値

$\log_{10}(n)$	$\pi(n)$	$\sum_{i=1}^n \phi(i)$
1	4	32
2	25	3044
3	168	304192
4	1229	30397486
5	9592	3039650754
6	78498	303963552392
7	664579	30396356427242
8	5761455	3039635516365908
9	50847534	303963551173008414
10	455052511	30396355092886216366
11	4118054813	3039635509283386211140
12	37607912018	303963550927059804025910
13	346065536839	30396355092702898919527444
14	3204941750802	3039635509270144893910357854

## 参考文献 I

- Sum of Multiplicative Function / min-25
  - <https://min-25.hatenablog.com/entry/2018/11/11/172216>(web.archive.org:20211009144526)
- min-25 sieve
  - <https://zhuanlan.zhihu.com/p/60378354>
  - <https://oi-wiki.org/math/number-theory/min-25/>
- 洲閣篩 (Zhouge sieve)
  - <http://debug18.com/posts/calculate-the-sum-of-multiplicative-function>(web.archive.org:20190114044154)

## 参考文献 II

- the black algorithm / baihacker
  - [http://baihacker.github.io/main/2020/The\\_prefix-sum\\_of\\_multiplicative\\_function\\_the\\_black\\_algorithm.html](http://baihacker.github.io/main/2020/The_prefix-sum_of_multiplicative_function_the_black_algorithm.html)
- Nyaan's Library
  - <https://nyaannyaan.github.io/library/multiplicative-function/sum-of-multiplicative-function.hpp>
  - <https://nyaannyaan.github.io/library/multiplicative-function/prime-counting.hpp>
  - <https://nyaannyaan.github.io/library/multiplicative-function/prime-counting-o2d3.hpp>
  - <https://nyaannyaan.github.io/library/multiplicative-function/prime-counting-faster.hpp>



## 関連資料

- 乗法的関数の和を  $O(n^{2/3}/\log(n))$  time,  $O(\sqrt{n})$  space らしい
  - <https://blog.csdn.net/whzzt/article/details/104105025> (web.archive.org:20211009144526)
- 別の手法で  $\sum_i \phi(i)$  などを  $O(n^{2/3})$  time / maspy
  - <https://maspppy.com/dirichlet-積と、数論関数の累積和>
- $\pi(n)$ : the Meissel, Lehmer, Lagarias, Miller, Odlyzko method
  - $O(x^{2/3}/\log(x)^2)$  time,  $O(x^{1/3} \log(x)^3 \log(\log(x)))$  space
  - <https://www.ams.org/journals/mcom/1996-65-213/S0025-5718-96-00674-6/S0025-5718-96-00674-6.pdf>
- 実用的に高速なライブラリ。  $10^{31}$  くらいまでできるらしい。
  - <https://github.com/kimwalisch/primecount>

Thank you!

# 擬似コード I

$\Theta(n^{2/3})$  時間の Lucy DP の擬似コード。

拡大して見ればよいので、めちゃくちゃに縮小してある。

```

Algorithm 8.1: 高速化した Lucy DP
1 function PRINTCOUNT-LUCY(3)(n)
2    $A \leftarrow \{n, \lfloor n/2 \rfloor, \dots, \lfloor n/\lfloor \sqrt{n} \rfloor \}, \lfloor n/\lfloor \sqrt{n} \rfloor \} - 1, \dots, 2, 1$ 
3    $S \leftarrow \{A_1 - 1, A_2 - 1, \dots, A_{|A|} - 1\}$ 
4    $\pi \leftarrow 1$ 
5   while  $p_n \leq \sqrt{n}$  do
6     for each  $i \leftarrow \{1, 2, \dots, |A|\}$  do
7       if  $A_i < p_n^2$  then break
8        $j \leftarrow \lfloor n/p_n \rfloor$ 
9        $S_i \leftarrow S_j$ 
10     $\pi \leftarrow 1$ 
11     $b \leftarrow \{0\}^{(|A|)} \quad \triangleright b$  は BIT で管理する。
12    while  $p_n \leq \sqrt{n}$  do
13      for each  $i \leftarrow \{1, 2, \dots, \lfloor \sqrt{n} \rfloor\}$  do
14         $j \leftarrow \lfloor n/p_n \rfloor$ 
15        if  $j > \sqrt{n}$  then
16           $S_i \leftarrow \left( S_j - \sum_{k=1}^{|A|} b_k \right) - \pi$ 
17        else
18           $S_i \leftarrow S_j - \pi$ 
19        for each  $v \in \{v \mid \exists t \mid v = p_n t, v < n/\lfloor \sqrt{n} \rfloor\} \setminus P$  do
20           $j \leftarrow \lfloor n/v \rfloor$ 
21          if  $j > \sqrt{n}$  then  $b_j \leftarrow 1$ 
22     $\pi \leftarrow 1$ 
23    for each  $j \leftarrow \{A_1, \dots, \lfloor \sqrt{n} \rfloor\}$  do  $\triangleright \mu$  - プログラムに関して
24       $S_j \leftarrow \sum_{k=1}^{|A|} b_k$ 
25    while  $p_n \leq \sqrt{n}$  do
26      for each  $i \leftarrow \{1, 2, \dots, |A|\}$  do
27        if  $A_i < p_n^2$  then break
28         $j \leftarrow \lfloor n/p_n \rfloor$ 
29         $S_i \leftarrow S_j$ 
30     $\pi \leftarrow 1$ 
31    return  $S_1 \quad \triangleright \pi(n)$ 

```

<sup>(3)</sup>  $n^{1/3}$  以下の素数では限っていることから、BIT で管理されている全素数は  $n^{1/3}$  より大きい。そのため  $b \leftarrow \{A_1 - 1, \dots, \lfloor \sqrt{n} \rfloor\}$  で十分です。

# 擬似コード II

$\Theta(n^{2/3}/\log(n)^{1/3})$  時間の Lucy DP の擬似コード。

拡大して見ればよいので、めちゃくちゃに縮小してある。

---

Algorithm 8.2: 高速化した Lucy DP

---

```

1 function fastestGreedyLucyDP( $n$ )
2    $A \leftarrow (n, \lfloor n/2 \rfloor, \dots, \lfloor n/\sqrt{n} \rfloor, \lfloor n/\sqrt{n} \rfloor - 1, \dots, 2, 1)$ 
3    $S \leftarrow (A_1 - 1, A_2 - 1, \dots, A_{|A|} - 1)$ 
4    $\pi \leftarrow 1$ 
5   while  $p_n \leq \sqrt{n}$  do
6     for  $i \leftarrow (1, 2, \dots, |A|)$  do
7       if  $A_i < p_n^2$  then break
8        $j \leftarrow (\lfloor i \cdot p_n \rfloor \leq \sqrt{n} \text{ then } i \cdot p_n \text{ else } \lfloor A_i / p_n \rfloor)$ 
9        $S_i \leftarrow S_j$ 
10     $\pi \leftarrow 1$ 
11   $b \leftarrow (0, \lfloor \sqrt{n} \cdot \log(n)^{1/2} \rfloor)$   $\triangleright b$  は BIT で管理する。
12  if  $\lfloor \sqrt{n} \cdot \log(n)^{1/2} \rfloor \leq \sqrt{n}$  then
13     $j_0 \leftarrow \lfloor \sqrt{n} \cdot \log(n)^{1/2} \rfloor$ 
14  else
15     $j_0 \leftarrow |A| - \lfloor n / \lfloor \sqrt{n} \cdot \log(n) \rfloor \rfloor$ 
16  while  $p_n \leq \sqrt{n} / \log(n)^{2/3}$  do
17    for  $i \leftarrow (1, 2, \dots, \lfloor \sqrt{n} \cdot \log(n)^{1/2} \rfloor)$  do
18       $j \leftarrow (\lfloor i \cdot p_n \rfloor \leq \sqrt{n} \text{ then } i \cdot p_n \text{ else } \lfloor A_i / p_n \rfloor)$ 
19      if  $j > j_0$  then
20         $S_i \leftarrow \left( S_j - \sum_{k=i}^{|A|} b_k \right) - \pi$ 
21      else
22         $S_i \leftarrow S_j - \pi$ 
23    for  $v \in \{v \mid \text{lpf}(v) = p_n, v < n / \lfloor \sqrt{n} \cdot \log(n)^{1/2} \rfloor\} \setminus P$  do
24       $j \leftarrow (\lfloor i \cdot v \rfloor \leq \sqrt{n} \text{ then } \lfloor A_i - v \rfloor \text{ else } \lfloor n/v \rfloor)$ 
25      if  $j > j_0$  then  $b_j \leftarrow 1$ 
26     $\pi \leftarrow 1$ 
27  for  $j \leftarrow (|A|, \dots, \lfloor \sqrt{n} \cdot \log(n)^{1/2} \rfloor)$  do
28     $S_j \leftarrow \sum_{k=j}^{|A|} b_k$ 
29  while  $p_n \leq \sqrt{n}$  do
30    for  $i \leftarrow (1, 2, \dots, |A|)$  do
31      if  $A_i < p_n^2$  then break
32       $j \leftarrow (\lfloor i \cdot p_n \rfloor \leq \sqrt{n} \text{ then } i \cdot p_n \text{ else } \lfloor A_i / p_n \rfloor)$ 
33       $S_i \leftarrow S_j$ 
34     $\pi \leftarrow 1$ 
35  return  $S_1$   $\triangleright \pi(n)$ 

```

---

拡大して見ればよいので、めちゃくちゃに縮小してある。

Figure 1: Algorithm 1. 高次元下二乗回帰問題の解法 (高次元下二乗回帰問題の解法)

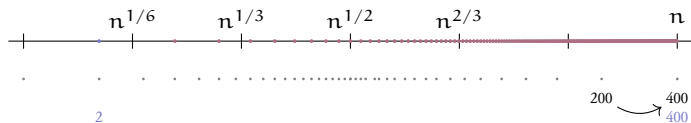
<sup>4</sup> 与えられた  $y^2$  の値から  $y$  平方  $x$  を両邊に微分するものは間違った。実際には  $dy = y/x dx$  となる。解の微分方程式であるから、 $x$  関数である。

## 高速化 Lucy DP の動き

Lucy DP を  $\Theta(n^{2/3})$  時間に高速化したアルゴリズムの動作。

$n = 400$  の場合を例として載せる。

# $n^{1/6}$ 以下の素数で Lucy DP

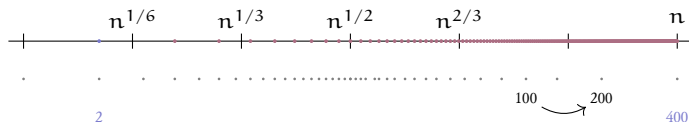


$$\underbrace{dp[1]}_{S_1(400) = 399} \leftarrow \underbrace{dp[2]}_{S_1(200) = 199} - \underbrace{\pi(2-1)}_0$$

$$dp[1] = S_2(400) = 200$$

Figure: アルゴリズムの動き

# $n^{1/6}$ 以下の素数で Lucy DP



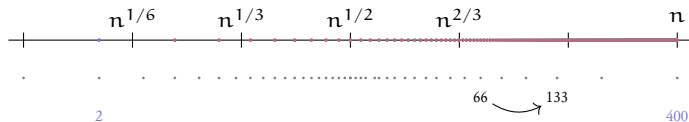
$$\underbrace{dp[2]}_{s_1(200)=199} \leftarrow \underbrace{dp[4]}_{s_1(100)=99} - \underbrace{\pi(2-1)}_0$$

$$dp[2] = s_2(200) = 100$$

Figure: アルゴリズムの動き



# $n^{1/6}$ 以下の素数で Lucy DP

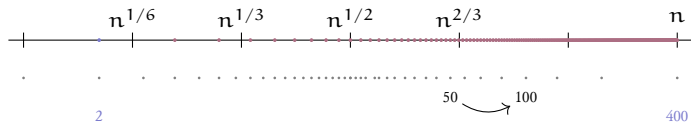


$$\underbrace{\text{dp}[3]}_{\substack{S_1(133) \\ =132}} \leftarrow \underbrace{\text{dp}[6]}_{\substack{S_1(66) \\ =65}} - \underbrace{\pi(2-1)}_0$$

$$\text{dp}[3] = S_2(133) = 67$$

Figure: アルゴリズムの動き

# $n^{1/6}$ 以下の素数で Lucy DP

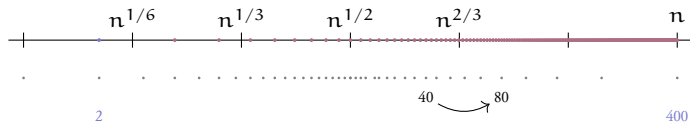


$$\underbrace{\text{dp}[4]}_{\substack{S_1(100) \\ =99}} \leftarrow \underbrace{\text{dp}[8]}_{\substack{S_1(50) \\ =49}} - \underbrace{\pi(2-1)}_0$$

$$\text{dp}[4] = S_2(100) = 50$$

Figure: アルゴリズムの動き

# $n^{1/6}$ 以下の素数で Lucy DP

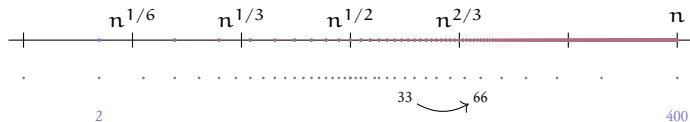


$$\underbrace{dp[5]}_{\substack{S_1(80) \\ =79}} \leftarrow \underbrace{dp[10]}_{\substack{S_1(40) \\ =39}} - \underbrace{\pi(2-1)}_0$$

$$dp[5] = S_2(80) = 40$$

Figure: アルゴリズムの動き

# $n^{1/6}$ 以下の素数で Lucy DP

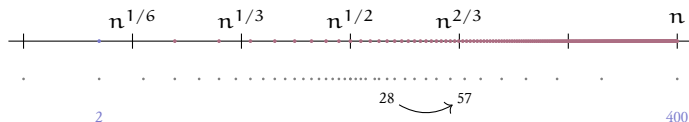


$$\underbrace{dp[6]}_{S_1(66)=65} \leftarrow \underbrace{dp[12]}_{S_1(33)=32} - \underbrace{\pi(2-1)}_0$$

$$dp[6] = S_2(66) = 33$$

Figure: アルゴリズムの動き

# $n^{1/6}$ 以下の素数で Lucy DP

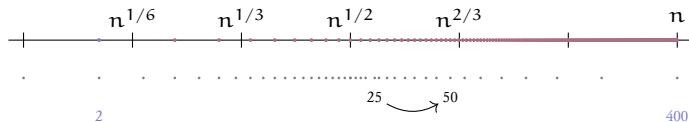


$$\underbrace{dp[7]}_{s_1(57)=56} \leftarrow \underbrace{dp[14]}_{s_1(28)=27} - \underbrace{\pi(2-1)}_0$$

$$dp[7] = s_2(57) = 29$$

Figure: アルゴリズムの動き

# $n^{1/6}$ 以下の素数で Lucy DP

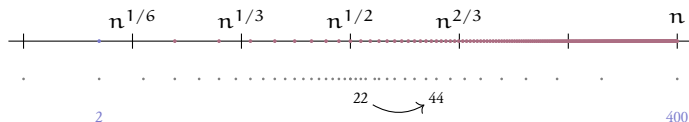


$$\underbrace{dp[8]}_{s_1(50)=49} \leftarrow \underbrace{dp[16]}_{s_1(25)=24} - \underbrace{\pi(2-1)}_0$$

$$dp[8] = s_2(50) = 25$$

Figure: アルゴリズムの動き

# $n^{1/6}$ 以下の素数で Lucy DP

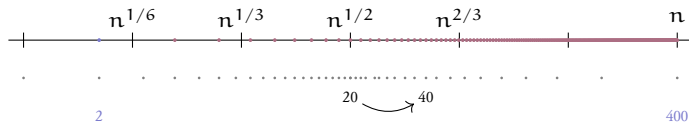


$$\underbrace{dp[9]}_{s_1(44)=43} \leftarrow \underbrace{dp[18]}_{s_1(22)=21} - \underbrace{\pi(2-1)}_0$$

$$dp[9] = s_2(44) = 22$$

Figure: アルゴリズムの動き

# $n^{1/6}$ 以下の素数で Lucy DP



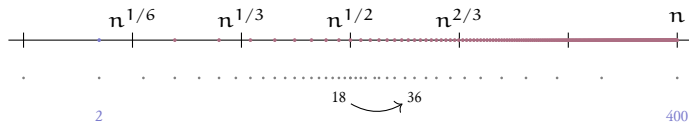
$$\underbrace{dp[10]}_{\substack{S_1(40) \\ = 39}} \leftarrow \underbrace{dp[20]}_{\substack{S_1(20) \\ = 19}} - \underbrace{\pi(2-1)}_0$$

$$dp[10] = S_2(40) = 20$$

Figure: アルゴリズムの動き



# $n^{1/6}$ 以下の素数で Lucy DP

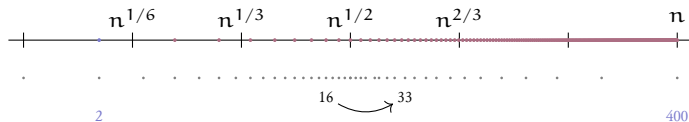


$$\underbrace{\text{dp}[11]}_{\substack{S_1(36) \\ =35}} \leftarrow \underbrace{\text{dp}[22]}_{\substack{S_1(18) \\ =17}} - \underbrace{\pi(2-1)}_0$$

$$\text{dp}[11] = S_2(36) = 18$$

Figure: アルゴリズムの動き

# $n^{1/6}$ 以下の素数で Lucy DP

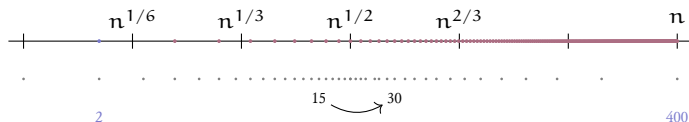


$$\underbrace{dp[12]}_{\substack{S_1(33) \\ =32}} \leftarrow \underbrace{dp[24]}_{\substack{S_1(16) \\ =15}} - \underbrace{\pi(2-1)}_0$$

$$dp[12] = S_2(33) = 17$$

Figure: アルゴリズムの動き

# $n^{1/6}$ 以下の素数で Lucy DP

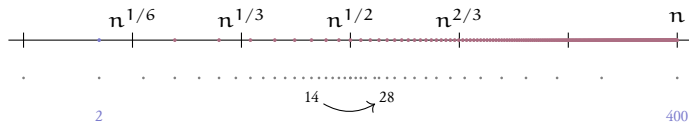


$$\underbrace{dp[13]}_{\substack{S_1(30) \\ =29}} \leftarrow \underbrace{dp[25]}_{\substack{S_1(15) \\ =14}} - \underbrace{\pi(2-1)}_0$$

$$dp[13] = S_2(30) = 15$$

Figure: アルゴリズムの動き

# $n^{1/6}$ 以下の素数で Lucy DP

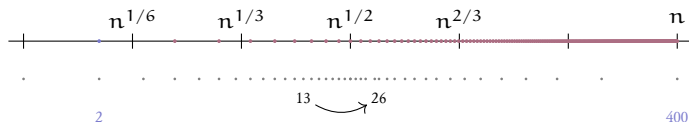


$$\underbrace{\text{dp}[14]}_{\substack{S_1(28) \\ =27}} \leftarrow \underbrace{\text{dp}[26]}_{\substack{S_1(14) \\ =13}} - \underbrace{\pi(2-1)}_0$$

$$\text{dp}[14] = S_2(28) = 14$$

Figure: アルゴリズムの動き

# $n^{1/6}$ 以下の素数で Lucy DP

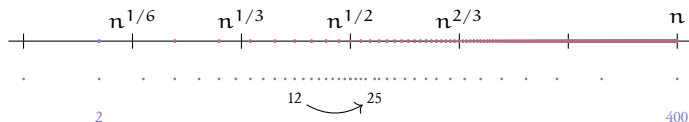


$$\underbrace{\text{dp}[15]}_{\substack{S_1(26) \\ =25}} \leftarrow \underbrace{\text{dp}[27]}_{\substack{S_1(13) \\ =12}} - \underbrace{\pi(2-1)}_0$$

$$\text{dp}[15] = S_2(26) = 13$$

Figure: アルゴリズムの動き

# $n^{1/6}$ 以下の素数で Lucy DP

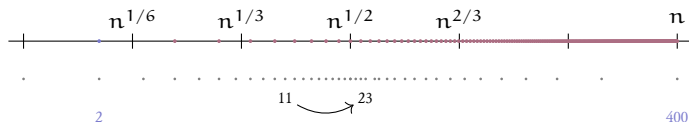


$$\underbrace{dp[16]}_{\substack{S_1(25) \\ =24}} \leftarrow \underbrace{dp[28]}_{\substack{S_1(12) \\ =11}} - \underbrace{\pi(2-1)}_0$$

$$dp[16] = S_2(25) = 13$$

Figure: アルゴリズムの動き

# $n^{1/6}$ 以下の素数で Lucy DP

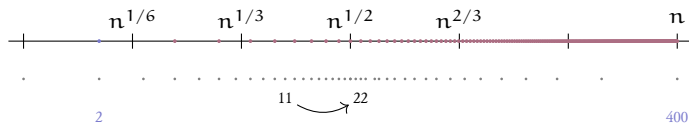


$$\underbrace{\text{dp}[17]}_{\substack{S_1(23) \\ =22}} \leftarrow \underbrace{\text{dp}[29]}_{\substack{S_1(11) \\ =10}} - \underbrace{\pi(2-1)}_0$$

$$\text{dp}[17] = S_2(23) = 12$$

Figure: アルゴリズムの動き

# $n^{1/6}$ 以下の素数で Lucy DP



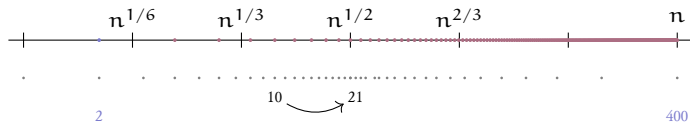
$$\underbrace{\text{dp}[18]}_{\substack{S_1(22) \\ =21}} \leftarrow \underbrace{\text{dp}[29]}_{\substack{S_1(11) \\ =10}} - \underbrace{\pi(2-1)}_0$$

$$\text{dp}[18] = S_2(22) = 11$$

Figure: アルゴリズムの動き



# $n^{1/6}$ 以下の素数で Lucy DP

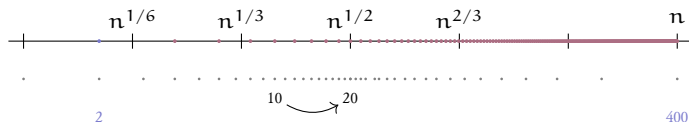


$$\underbrace{\text{dp}[19]}_{\substack{S_1(21) \\ =20}} \leftarrow \underbrace{\text{dp}[30]}_{\substack{S_1(10) \\ =9}} - \underbrace{\pi(2-1)}_0$$

$$\text{dp}[19] = S_2(21) = 11$$

Figure: アルゴリズムの動き

# $n^{1/6}$ 以下の素数で Lucy DP

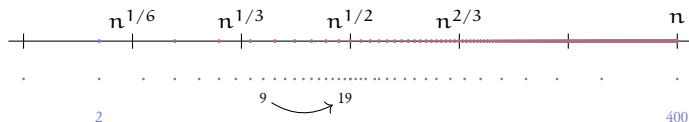


$$\underbrace{dp[20]}_{\substack{S_1(20) \\ = 19}} \leftarrow \underbrace{dp[30]}_{\substack{S_1(10) \\ = 9}} - \underbrace{\pi(2-1)}_0$$

$$dp[20] = S_2(20) = 10$$

Figure: アルゴリズムの動き

# $n^{1/6}$ 以下の素数で Lucy DP

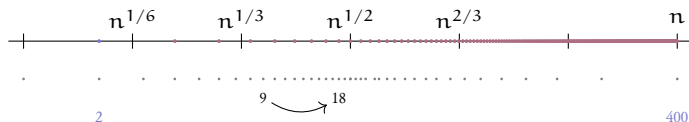


$$\underbrace{\text{dp}[21]}_{S_1(19)=18} \leftarrow \underbrace{\text{dp}[31]}_{S_1(9)=8} - \underbrace{\pi(2-1)}_0$$

$$\text{dp}[21] = S_2(19) = 10$$

Figure: アルゴリズムの動き

# $n^{1/6}$ 以下の素数で Lucy DP

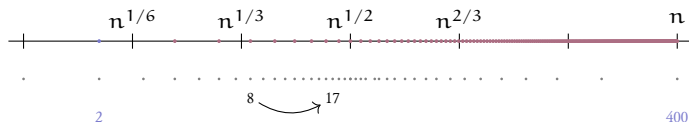


$$\underbrace{dp[22]}_{\substack{S_1(18) \\ =17}} \leftarrow \underbrace{dp[31]}_{\substack{S_1(9) \\ =8}} - \underbrace{\pi(2-1)}_0$$

$$dp[22] = S_2(18) = 9$$

Figure: アルゴリズムの動き

# $n^{1/6}$ 以下の素数で Lucy DP

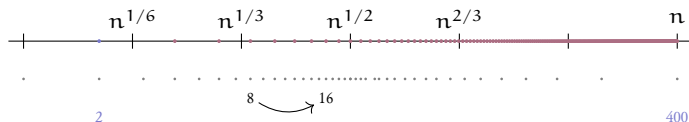


$$\underbrace{dp[23]}_{s_1(17)=16} \leftarrow \underbrace{dp[32]}_{s_1(8)=7} - \underbrace{\pi(2-1)}_0$$

$$dp[23] = S_2(17) = 9$$

Figure: アルゴリズムの動き

# $n^{1/6}$ 以下の素数で Lucy DP

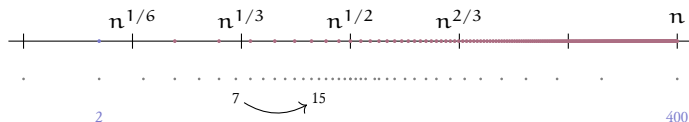


$$\underbrace{\text{dp}[24]}_{\substack{S_1(16) \\ =15}} \leftarrow \underbrace{\text{dp}[32]}_{\substack{S_1(8) \\ =7}} - \underbrace{\pi(2-1)}_0$$

$$\text{dp}[24] = S_2(16) = 8$$

Figure: アルゴリズムの動き

# $n^{1/6}$ 以下の素数で Lucy DP

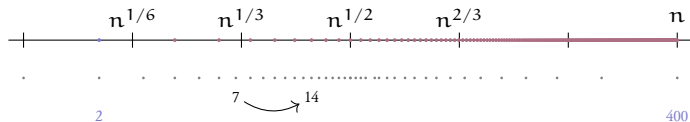


$$\underbrace{\text{dp}[25]}_{\substack{S_1(15) \\ =14}} \leftarrow \underbrace{\text{dp}[33]}_{\substack{S_1(7) \\ =6}} - \underbrace{\pi(2-1)}_0$$

$$\text{dp}[25] = S_2(15) = 8$$

Figure: アルゴリズムの動き

# $n^{1/6}$ 以下の素数で Lucy DP



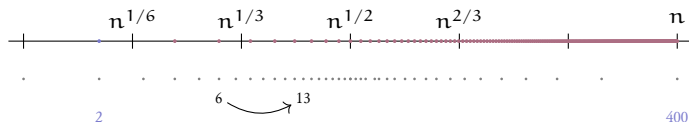
$$\underbrace{\text{dp}[26]}_{\substack{S_1(14) \\ =13}} \leftarrow \underbrace{\text{dp}[33]}_{\substack{S_1(7) \\ =6}} - \underbrace{\pi(2-1)}_0$$

$$\text{dp}[26] = S_2(14) = 7$$

Figure: アルゴリズムの動き



# $n^{1/6}$ 以下の素数で Lucy DP

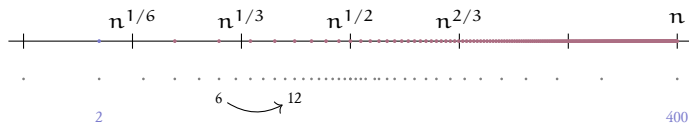


$$\underbrace{dp[27]}_{\substack{S_1(13) \\ =12}} \leftarrow \underbrace{dp[34]}_{\substack{S_1(6) \\ =5}} - \underbrace{\pi(2-1)}_0$$

$$dp[27] = S_2(13) = 7$$

Figure: アルゴリズムの動き

# $n^{1/6}$ 以下の素数で Lucy DP

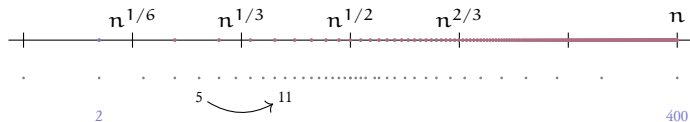


$$\underbrace{dp[28]}_{\substack{S_1(12) \\ =11}} \leftarrow \underbrace{dp[34]}_{\substack{S_1(6) \\ =5}} - \underbrace{\pi(2-1)}_0$$

$$dp[28] = S_2(12) = 6$$

Figure: アルゴリズムの動き

# $n^{1/6}$ 以下の素数で Lucy DP

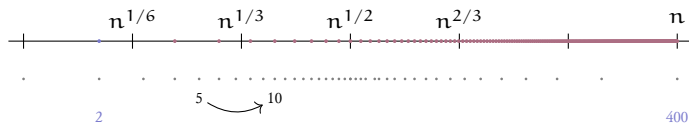


$$\underbrace{\text{dp}[29]}_{\substack{S_1(11) \\ =10}} \leftarrow \underbrace{\text{dp}[35]}_{\substack{S_1(5) \\ =4}} - \underbrace{\pi(2-1)}_0$$

$$\text{dp}[29] = S_2(11) = 6$$

Figure: アルゴリズムの動き

# $n^{1/6}$ 以下の素数で Lucy DP

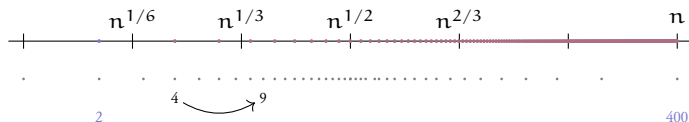


$$\underbrace{dp[30]}_{\substack{S_1(10) \\ =9}} \leftarrow \underbrace{dp[35]}_{\substack{S_1(5) \\ =4}} - \underbrace{\pi(2-1)}_0$$

$$dp[30] = S_2(10) = 5$$

Figure: アルゴリズムの動き

# $n^{1/6}$ 以下の素数で Lucy DP

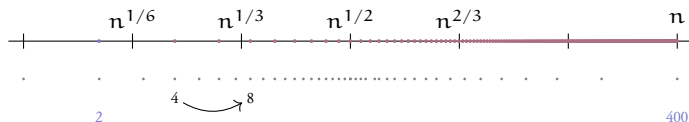


$$\underbrace{\text{dp}[31]}_{\substack{S_1(9) \\ =8}} \leftarrow \underbrace{\text{dp}[36]}_{\substack{S_1(4) \\ =3}} - \underbrace{\pi(2-1)}_0$$

$$\text{dp}[31] = S_2(9) = 5$$

Figure: アルゴリズムの動き

# $n^{1/6}$ 以下の素数で Lucy DP

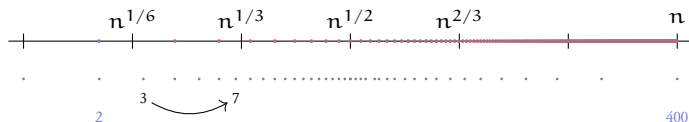


$$\underbrace{\text{dp}[32]}_{\substack{S_1(8) \\ =7}} \leftarrow \underbrace{\text{dp}[36]}_{\substack{S_1(4) \\ =3}} - \underbrace{\pi(2-1)}_0$$

$$\text{dp}[32] = S_2(8) = 4$$

Figure: アルゴリズムの動き

# $n^{1/6}$ 以下の素数で Lucy DP

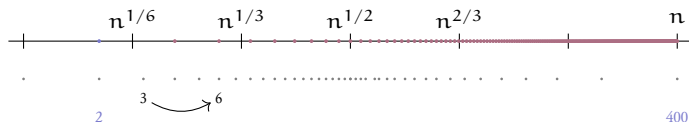


$$\underbrace{\text{dp}[33]}_{\substack{S_1(7) \\ =6}} \leftarrow \underbrace{\text{dp}[37]}_{\substack{S_1(3) \\ =2}} - \underbrace{\pi(2-1)}_0$$

$$\text{dp}[33] = S_2(7) = 4$$

Figure: アルゴリズムの動き

# $n^{1/6}$ 以下の素数で Lucy DP



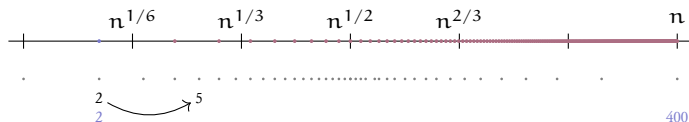
$$\underbrace{dp[34]}_{\substack{S_1(6) \\ =5}} \leftarrow \underbrace{dp[37]}_{\substack{S_1(3) \\ =2}} - \underbrace{\pi(2-1)}_0$$

$$dp[34] = S_2(6) = 3$$

Figure: アルゴリズムの動き



# $n^{1/6}$ 以下の素数で Lucy DP

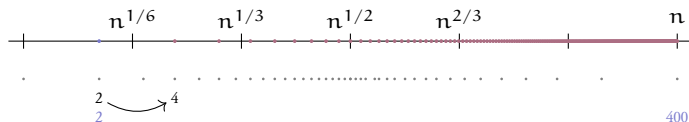


$$\underbrace{\text{dp}[35]}_{\substack{s_1(5) \\ =4}} \leftarrow \underbrace{\text{dp}[38]}_{\substack{s_1(2) \\ =1}} - \underbrace{\pi(2-1)}_0$$

$$\text{dp}[35] = S_2(5) = 3$$

Figure: アルゴリズムの動き

# $n^{1/6}$ 以下の素数で Lucy DP

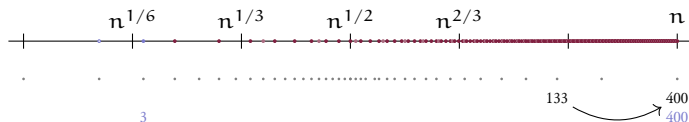


$$\underbrace{\text{dp}[36]}_{\substack{S_1(4) \\ =3}} \leftarrow \underbrace{\text{dp}[38]}_{\substack{S_1(2) \\ =1}} - \underbrace{\pi(2-1)}_0$$

$$\text{dp}[36] = S_2(4) = 2$$

Figure: アルゴリズムの動き

# $n^{1/3}$ 未満の素数で Lucy DP + 合成数列挙

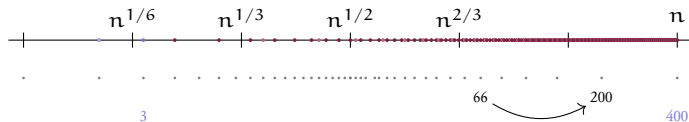


$$\underbrace{dp[1]}_{S_2(400)=200} \leftarrow \underbrace{dp[3]}_{S_2(133)=67} - \underbrace{\pi(3-1)}_1$$

$$dp[1] = S_3(400) = 134$$

Figure: アルゴリズムの動き

# $n^{1/3}$ 未満の素数で Lucy DP + 合成数列挙

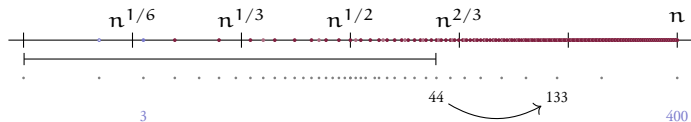


$$\underbrace{dp[2]}_{S_2(200)=100} \leftarrow \underbrace{dp[6]}_{S_2(66)=33} - \underbrace{\pi(3-1)}_1$$

$$dp[2] = S_3(200) = 68$$

Figure: アルゴリズムの動き

# $n^{1/3}$ 未満の素数で Lucy DP + 合成数列挙

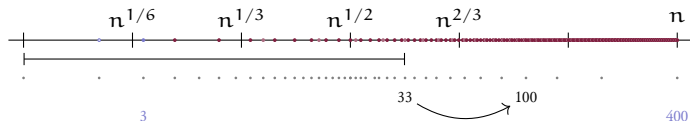


$$\underbrace{dp[3]}_{S_2(133)=67} \leftarrow \underbrace{dp[9]}_{S_2(44)=22} - \underbrace{|\{v \in (\mathbb{N} \setminus \mathbb{P}) \mid v \leq 44, \sqrt[6]{n} < lpf(v) < 3\}|}_{|\{ \} | = 0} - \underbrace{\pi(3-1)}_1$$

$$dp[3] = S_3(133) = 46$$

Figure: アルゴリズムの動き

# $n^{1/3}$ 未満の素数で Lucy DP + 合成数列挙

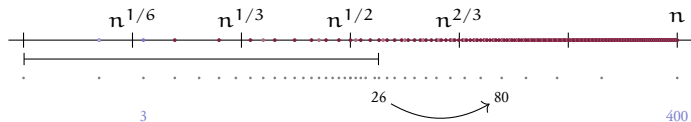


$$\underbrace{dp[4]}_{S_2(100)=50} \leftarrow \underbrace{dp[12]}_{S_2(33)=17} - \underbrace{|\{v \in (\mathbb{N} \setminus \mathbb{P}) \mid v \leq 33, \sqrt[6]{n} < \text{lpf}(v) < 3\}|}_{|\{\emptyset\}|=0} - \underbrace{\pi(3-1)}_1$$

$$dp[4] = S_3(100) = 34$$

Figure: アルゴリズムの動き

# $n^{1/3}$ 未満の素数で Lucy DP + 合成数列挙

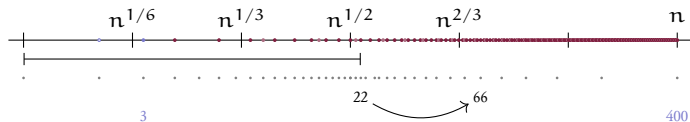


$$\underbrace{dp[5]}_{S_2(80)=40} \leftarrow \underbrace{dp[15]}_{S_2(26)=13} - \underbrace{|\{v \in (\mathbb{N} \setminus \mathbb{P}) \mid v \leq 26, \sqrt[6]{n} < \text{lpf}(v) < 3\}|}_{|\{\}\|=0} - \underbrace{\pi(3-1)}_1$$

$$dp[5] = S_3(80) = 28$$

Figure: アルゴリズムの動き

# $n^{1/3}$ 未満の素数で Lucy DP + 合成数列挙



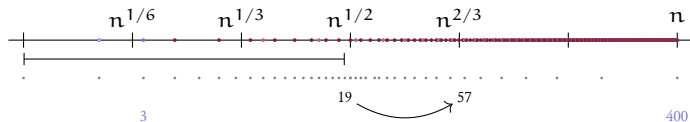
$$\underbrace{dp[6]}_{S_2(66)=33} \leftarrow \underbrace{dp[18]}_{S_2(22)=11} - \underbrace{|\{v \in (\mathbb{N} \setminus \mathbb{P}) \mid v \leq 22, \sqrt[6]{n} < \text{lpf}(v) < 3\}|}_{|\{\emptyset\}|=0} - \underbrace{\pi(3-1)}_1$$

$$dp[6] = S_3(66) = 23$$

Figure: アルゴリズムの動き



# $n^{1/3}$ 未満の素数で Lucy DP + 合成数列挙

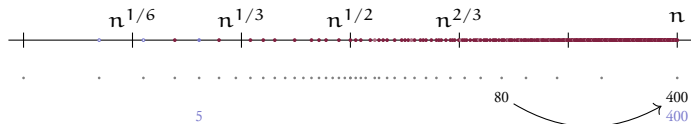


$$\underbrace{dp[7]}_{S_2(57)=29} \leftarrow \underbrace{dp[21]}_{S_2(19)=10} - \underbrace{|\{v \in (\mathbb{N} \setminus \mathbb{P}) \mid v \leq 19, \sqrt[6]{n} < \text{lpf}(v) < 3\}|}_{|\{\emptyset\}|=0} - \underbrace{\pi(3-1)}_1$$

$$dp[7] = S_3(57) = 20$$

Figure: アルゴリズムの動き

# $n^{1/3}$ 未満の素数で Lucy DP + 合成数列挙

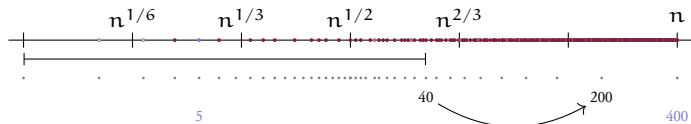


$$\underbrace{dp[1]}_{S_3(400)=134} \leftarrow \underbrace{dp[5]}_{S_3(80)=28} - \underbrace{\pi(5-1)}_2$$

$$dp[1] = S_5(400) = 108$$

Figure: アルゴリズムの動き

# $n^{1/3}$ 未満の素数で Lucy DP + 合成数列挙

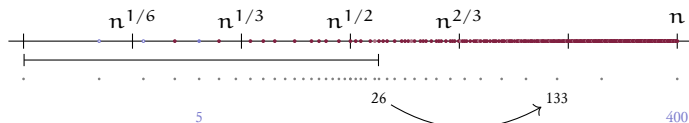


$$\underbrace{dp[2]}_{S_3(200)=68} \leftarrow \underbrace{dp[10]}_{S_2(40)=20} - \underbrace{|\{v \in (\mathbb{N} \setminus \mathbb{P}) \mid v \leq 40, \sqrt[6]{n} < \text{lpf}(v) < 5\}|}_{|\{9, 15, 21, 27, 33, 39\}|=6} - \underbrace{\pi(5-1)}_2$$

$$dp[2] = S_5(200) = 56$$

Figure: アルゴリズムの動き

# $n^{1/3}$ 未満の素数で Lucy DP + 合成数列挙

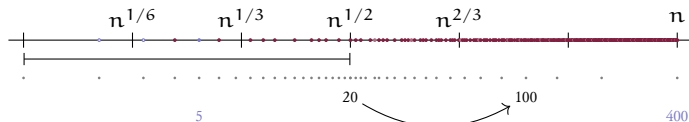


$$\underbrace{dp[3]}_{S_3(133)=46} \leftarrow \underbrace{dp[15]}_{S_2(26)=13} - \underbrace{|\{v \in (\mathbb{N} \setminus \mathbb{P}) \mid v \leq 26, \sqrt[6]{n} < \text{lpf}(v) < 5\}|}_{|\{9, 15, 21\}|=3} - \underbrace{\pi(5-1)}_2$$

$$dp[3] = S_5(133) = 38$$

Figure: アルゴリズムの動き

# $n^{1/3}$ 未満の素数で Lucy DP + 合成数列挙

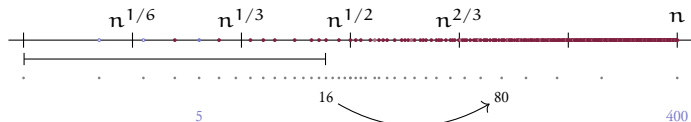


$$\underbrace{dp[4]}_{S_3(100)=34} \leftarrow \underbrace{dp[20]}_{S_2(20)=10} - \underbrace{|\{v \in (\mathbb{N} \setminus \mathbb{P}) \mid v \leq 20, \sqrt[6]{n} < \text{lpf}(v) < 5\}|}_{|\{9, 15\}|=2} - \underbrace{\pi(5-1)}_2$$

$$dp[4] = S_5(100) = 28$$

Figure: アルゴリズムの動き

# $n^{1/3}$ 未満の素数で Lucy DP + 合成数列挙

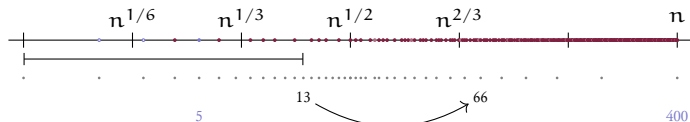


$$\underbrace{dp[5]}_{S_3(80)=28} \leftarrow \underbrace{dp[24]}_{S_2(16)=8} - \underbrace{|\{v \in (\mathbb{N} \setminus \mathbb{P}) \mid v \leq 16, \sqrt[6]{n} < \text{lpf}(v) < 5\}|}_{|\{9, 15\}|=2} - \underbrace{\pi(5-1)}_2$$

$$dp[5] = S_5(80) = 24$$

Figure: アルゴリズムの動き

# $n^{1/3}$ 未満の素数で Lucy DP + 合成数列挙

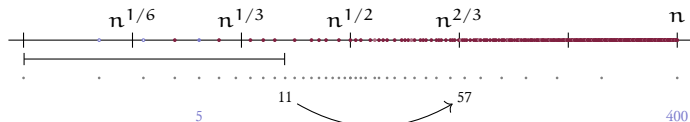


$$\underbrace{dp[6]}_{S_3(66)=23} \leftarrow \underbrace{dp[27]}_{S_2(13)=7} - \underbrace{|\{v \in (\mathbb{N} \setminus \mathbb{P}) \mid v \leq 13, \sqrt[6]{n} < lpf(v) < 5\}|}_{\{9\}=1} - \underbrace{\pi(5-1)}_2$$

$$dp[6] = S_5(66) = 19$$

Figure: アルゴリズムの動き

# $n^{1/3}$ 未満の素数で Lucy DP + 合成数列挙



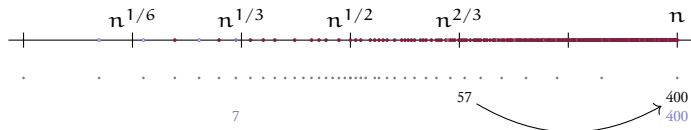
$$\underbrace{dp[7]}_{S_3(57)=20} \leftarrow \underbrace{dp[29]}_{S_2(11)=6} - \underbrace{|\{v \in (\mathbb{N} \setminus \mathbb{P}) \mid v \leq 11, \sqrt[6]{n} < \text{lpf}(v) < 5\}|}_{\{9\}=1} - \underbrace{\pi(5-1)}_2$$

$$dp[7] = S_5(57) = 17$$

Figure: アルゴリズムの動き



# $n^{1/3}$ 未満の素数で Lucy DP + 合成数列挙

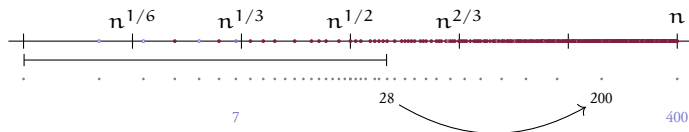


$$\underbrace{dp[1]}_{S_5(400)=108} \leftarrow \underbrace{dp[7]}_{S_5(57)=17} - \underbrace{\pi(7-1)}_3$$

$$dp[1] = S_7(400) = 94$$

Figure: アルゴリズムの動き

# $n^{1/3}$ 未満の素数で Lucy DP + 合成数列挙

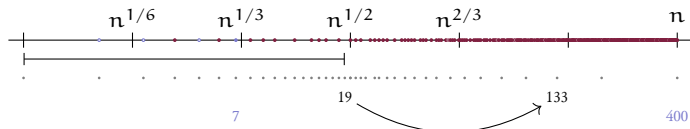


$$\underbrace{dp[2]}_{S_5(200)=56} \leftarrow \underbrace{dp[14]}_{S_2(28)=14} - \underbrace{|\{v \in (\mathbb{N} \setminus \mathbb{P}) \mid v \leq 28, \sqrt[6]{n} < \text{lpf}(v) < 7\}|}_{|\{9, 15, 21, 25, 27\}|=5} - \underbrace{\pi(7-1)}_3$$

$$dp[2] = S_7(200) = 50$$

Figure: アルゴリズムの動き

# $n^{1/3}$ 未満の素数で Lucy DP + 合成数列挙

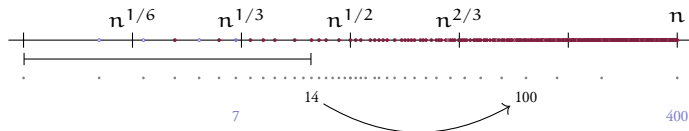


$$\underbrace{dp[3]}_{S_5(133)=38} \leftarrow \underbrace{dp[21]}_{S_2(19)=10} - \underbrace{|\{v \in (\mathbb{N} \setminus \mathbb{P}) \mid v \leq 19, \sqrt[6]{n} < \text{lpf}(v) < 7\}|}_{|\{9, 15\}|=2} - \underbrace{\pi(7-1)}_3$$

$$dp[3] = S_7(133) = 33$$

Figure: アルゴリズムの動き

# $n^{1/3}$ 未満の素数で Lucy DP + 合成数列挙

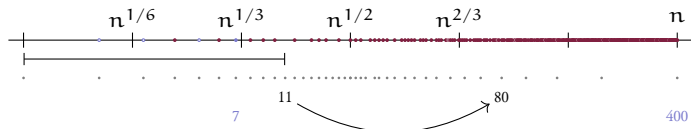


$$\underbrace{\text{dp}[4]}_{S_5(100)=28} \leftarrow \underbrace{\text{dp}[26]}_{S_2(14)=7} - \underbrace{|\{v \in (\mathbb{N} \setminus \mathbb{P}) \mid v \leq 14, \sqrt[6]{n} < \text{lpf}(v) < 7\}|}_{|\{9\}|=1} - \underbrace{\pi(7-1)}_3$$

$$\text{dp}[4] = S_7(100) = 25$$

Figure: アルゴリズムの動き

# $n^{1/3}$ 未満の素数で Lucy DP + 合成数列挙

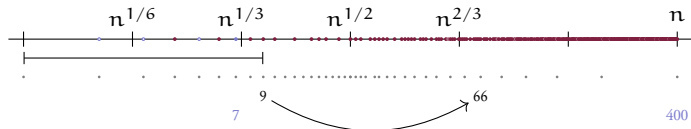


$$\underbrace{dp[5]}_{S_5(80)=24} \leftarrow \underbrace{dp[29]}_{S_2(11)=6} - \underbrace{|\{v \in (\mathbb{N} \setminus \mathbb{P}) \mid v \leq 11, \sqrt[6]{n} < \text{lpf}(v) < 7\}|}_{\{9\}=1} - \underbrace{\pi(7-1)}_3$$

$$dp[5] = S_7(80) = 22$$

Figure: アルゴリズムの動き

# $n^{1/3}$ 未満の素数で Lucy DP + 合成数列挙

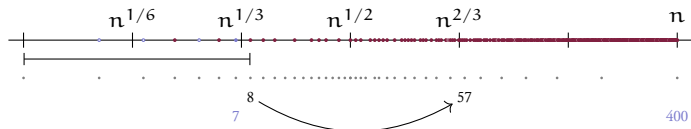


$$\underbrace{\text{dp}[6]}_{S_5(66)=19} \leftarrow \underbrace{\text{dp}[31]}_{S_2(9)=5} - \underbrace{|\{v \in (\mathbb{N} \setminus \mathbb{P}) \mid v \leq 9, \sqrt[6]{n} < \text{lpf}(v) < 7\}|}_{|\{9\}|=1} - \underbrace{\pi(7-1)}_3$$

$$\text{dp}[6] = S_7(66) = 18$$

Figure: アルゴリズムの動き

# $n^{1/3}$ 未満の素数で Lucy DP + 合成数列挙

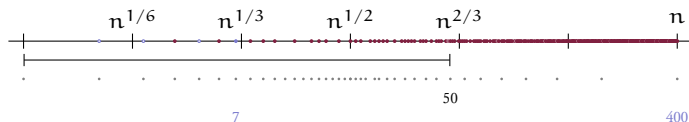


$$\underbrace{dp[7]}_{S_5(57)=17} \leftarrow \underbrace{dp[32]}_{S_2(8)=4} - \underbrace{|\{v \in (\mathbb{N} \setminus \mathbb{P}) \mid v \leq 8, \sqrt[6]{n} < \text{lpf}(v) < 7\}|}_{\{ \emptyset \} = 0} - \underbrace{\pi(7-1)}_3$$

$$dp[7] = S_7(57) = 16$$

Figure: アルゴリズムの動き

# 列挙した合成数を DP 配列に反映



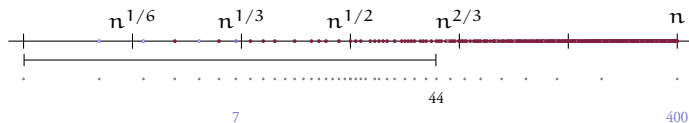
$$\underbrace{dp[8]}_{\substack{S_2(50) \\ =25}} \leftarrow \underbrace{|\{v \in (\mathbb{N} \setminus \mathbb{P}) \mid v \leq 50, \sqrt[6]{n} < \text{lpf}(v) < n^{2/3}\}|}_{\substack{\{9, 15, 21, 25, 27, 33, 35, 39, 45, 49\} \\ =10}}$$

$$dp[8] = S_7(50) = 15$$

Figure: アルゴリズムの動き



# 列挙した合成数を DP 配列に反映

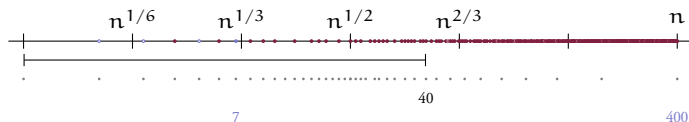


$$\underbrace{dp[9]}_{\substack{S_2(44) \\ =22}} \leftarrow \underbrace{|\{v \in (\mathbb{N} \setminus \mathbb{P}) \mid v \leq 44, \sqrt[6]{n} < \text{lpf}(v) < n^{2/3}\}|}_{\substack{|\{9, 15, 21, 25, 27, 33, 35, 39\}| \\ =8}}$$

$$dp[9] = S_7(44) = 14$$

Figure: アルゴリズムの動き

# 列挙した合成数を DP 配列に反映

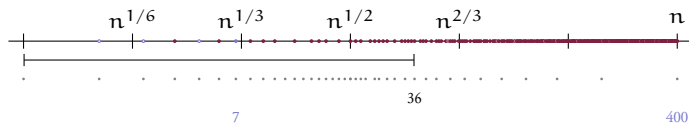


$$\underbrace{dp[10]}_{S_2(40)=20} \leftarrow \underbrace{|\{v \in (\mathbb{N} \setminus \mathbb{P}) \mid v \leq 40, \sqrt[6]{n} < \text{lpf}(v) < n^{2/3}\}|}_{|\{9, 15, 21, 25, 27, 33, 35, 39\}|=8}$$

$$dp[10] = S_7(40) = 12$$

Figure: アルゴリズムの動き

# 列挙した合成数を DP 配列に反映

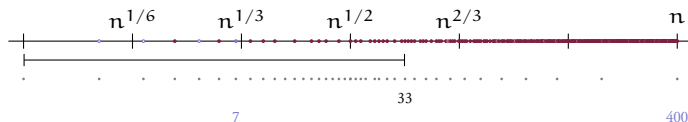


$$\underbrace{dp[11]}_{\substack{S_2(36) \\ =18}} \leftarrow \underbrace{|\{v \in (\mathbb{N} \setminus \mathbb{P}) \mid v \leq 36, \sqrt[6]{n} < \text{lpf}(v) < n^{2/3}\}|}_{\substack{|\{9, 15, 21, 25, 27, 33, 35\}| \\ =7}}$$

$$dp[11] = S_7(36) = 11$$

Figure: アルゴリズムの動き

# 列挙した合成数を DP 配列に反映

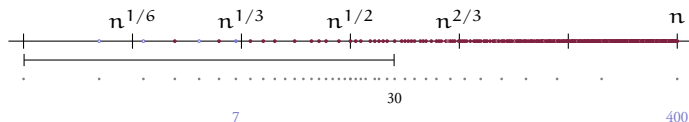


$$\underbrace{dp[12]}_{\substack{S_2(33) \\ =17}} \leftarrow \underbrace{|\{v \in (\mathbb{N} \setminus \mathbb{P}) \mid v \leq 33, \sqrt[6]{n} < \text{lpf}(v) < n^{2/3}\}|}_{\substack{|\{9, 15, 21, 25, 27, 33\}| \\ =6}}$$

$$dp[12] = S_7(33) = 11$$

Figure: アルゴリズムの動き

# 列挙した合成数を DP 配列に反映

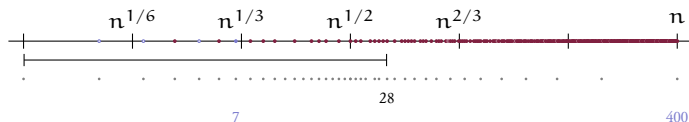


$$\underbrace{dp[13]}_{S_2(30)=15} \leftarrow \underbrace{|\{v \in (\mathbb{N} \setminus \mathbb{P}) \mid v \leq 30, \sqrt[6]{n} < \text{lpf}(v) < n^{2/3}\}|}_{|\{9, 15, 21, 25, 27\}|=5}$$

$$dp[13] = S_7(30) = 10$$

Figure: アルゴリズムの動き

# 列挙した合成数を DP 配列に反映

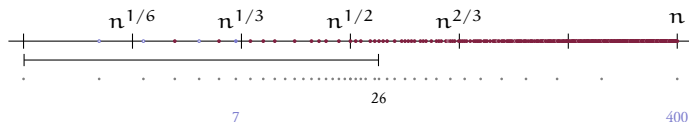


$$\underbrace{dp[14]}_{\substack{S_2(28) \\ =14}} \leftarrow \underbrace{|\{v \in (\mathbb{N} \setminus \mathbb{P}) \mid v \leq 28, \sqrt[6]{n} < \text{lpf}(v) < n^{2/3}\}|}_{\substack{|\{9, 15, 21, 25, 27\}| \\ =5}}$$

$$dp[14] = S_7(28) = 9$$

Figure: アルゴリズムの動き

# 列挙した合成数を DP 配列に反映

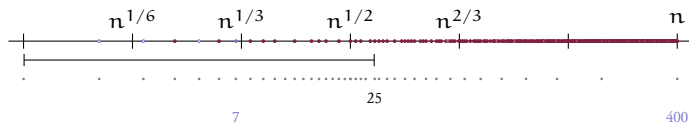


$$\underbrace{dp[15]}_{\substack{S_2(26) \\ =13}} \leftarrow \underbrace{|\{v \in (\mathbb{N} \setminus \mathbb{P}) \mid v \leq 26, \sqrt[6]{n} < \text{lpf}(v) < n^{2/3}\}|}_{\substack{|\{9, 15, 21, 25\}| \\ =4}}$$

$$dp[15] = S_7(26) = 9$$

Figure: アルゴリズムの動き

# 列挙した合成数を DP 配列に反映



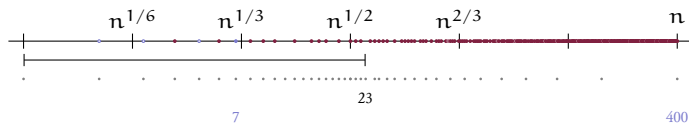
$$\underbrace{dp[16]}_{\substack{S_2(25) \\ =13}} \leftarrow \underbrace{|\{v \in (\mathbb{N} \setminus \mathbb{P}) \mid v \leq 25, \sqrt[6]{n} < \text{lpf}(v) < n^{2/3}\}|}_{\substack{|\{9, 15, 21, 25\}| \\ =4}}$$

$$dp[16] = S_7(25) = 9$$

Figure: アルゴリズムの動き



# 列挙した合成数を DP 配列に反映

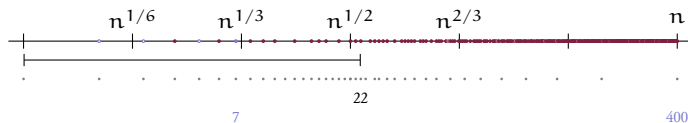


$$\underbrace{dp[17]}_{\substack{S_2(23) \\ =12}} \leftarrow \underbrace{|\{v \in (\mathbb{N} \setminus \mathbb{P}) \mid v \leq 23, \sqrt[6]{n} < \text{lpf}(v) < n^{2/3}\}|}_{\substack{|\{9, 15, 21\}| \\ =3}}$$

$$dp[17] = S_7(23) = 9$$

Figure: アルゴリズムの動き

# 列挙した合成数を DP 配列に反映

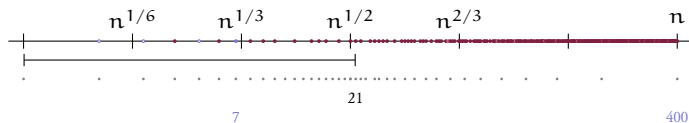


$$\underbrace{dp[18]}_{\substack{S_2(22) \\ = 11}} \leftarrow \underbrace{|\{v \in (\mathbb{N} \setminus \mathbb{P}) \mid v \leq 22, \sqrt[6]{n} < \text{lpf}(v) < n^{2/3}\}|}_{\substack{|\{9, 15, 21\}| \\ = 3}}$$

$$dp[18] = S_7(22) = 8$$

Figure: アルゴリズムの動き

# 列挙した合成数を DP 配列に反映

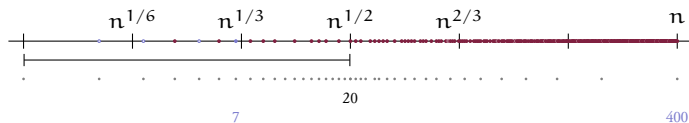


$$\underbrace{dp[19]}_{\substack{S_2(21) \\ = 11}} \leftarrow \underbrace{|\{v \in (\mathbb{N} \setminus \mathbb{P}) \mid v \leq 21, \sqrt[6]{n} < \text{lpf}(v) < n^{2/3}\}|}_{\substack{|\{9, 15, 21\}| \\ = 3}}$$

$$dp[19] = S_7(21) = 8$$

Figure: アルゴリズムの動き

# 列挙した合成数を DP 配列に反映

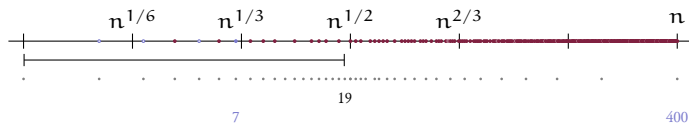


$$\underbrace{dp[20]}_{\substack{S_2(20) \\ =10}} \leftarrow \underbrace{|\{v \in (\mathbb{N} \setminus \mathbb{P}) \mid v \leq 20, \sqrt[6]{n} < \text{lpf}(v) < n^{2/3}\}|}_{\substack{\{9, 15\} \\ =2}}$$

$$dp[20] = S_7(20) = 8$$

Figure: アルゴリズムの動き

# 列挙した合成数を DP 配列に反映

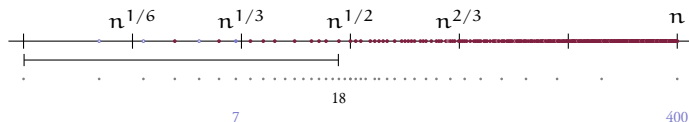


$$\underbrace{dp[21]}_{\substack{S_2(19) \\ =10}} \leftarrow \underbrace{|\{v \in (\mathbb{N} \setminus \mathbb{P}) \mid v \leq 19, \sqrt[6]{n} < \text{lpf}(v) < n^{2/3}\}|}_{\substack{\{9, 15\} \\ =2}}$$

$$dp[21] = S_7(19) = 8$$

Figure: アルゴリズムの動き

# 列挙した合成数を DP 配列に反映

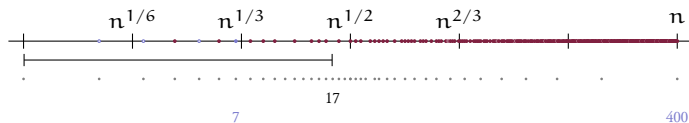


$$\underbrace{dp[22]}_{\substack{S_2(18) \\ =9}} \leftarrow \underbrace{|\{v \in (\mathbb{N} \setminus \mathbb{P}) \mid v \leq 18, \sqrt[6]{n} < \text{lpf}(v) < n^{2/3}\}|}_{\substack{\{9, 15\} \\ =2}}$$

$$dp[22] = S_7(18) = 7$$

Figure: アルゴリズムの動き

# 列挙した合成数を DP 配列に反映

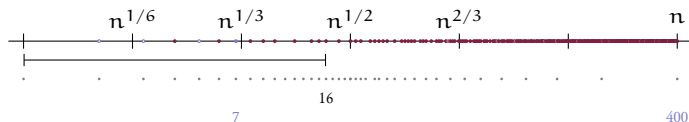


$$\underbrace{dp[23]}_{\substack{S_2(17) \\ =9}} \leftarrow \underbrace{|\{v \in (\mathbb{N} \setminus \mathbb{P}) \mid v \leq 17, \sqrt[6]{n} < \text{lpf}(v) < n^{2/3}\}|}_{\substack{\{9, 15\} \\ =2}}$$

$$dp[23] = S_7(17) = 7$$

Figure: アルゴリズムの動き

# 列挙した合成数を DP 配列に反映



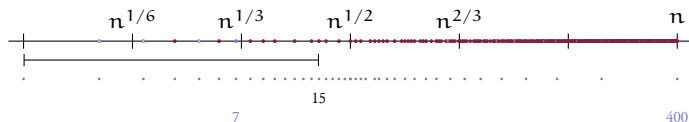
$$\underbrace{dp[24]}_{\substack{S_2(16) \\ =8}} \leftarrow \underbrace{|\{v \in (\mathbb{N} \setminus \mathbb{P}) \mid v \leq 16, \sqrt[6]{n} < \text{lpf}(v) < n^{2/3}\}|}_{\substack{\{9, 15\} \\ =2}}$$

$$dp[24] = S_7(16) = 6$$

Figure: アルゴリズムの動き



# 列挙した合成数を DP 配列に反映

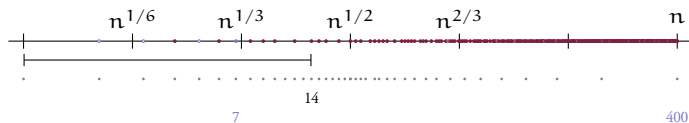


$$\underbrace{dp[25]}_{\substack{S_2(15) \\ =8}} \leftarrow \underbrace{|\{v \in (\mathbb{N} \setminus \mathbb{P}) \mid v \leq 15, \sqrt[6]{n} < \text{lpf}(v) < n^{2/3}\}|}_{\substack{\{9, 15\} \\ =2}}$$

$$dp[25] = S_7(15) = 6$$

Figure: アルゴリズムの動き

# 列挙した合成数を DP 配列に反映

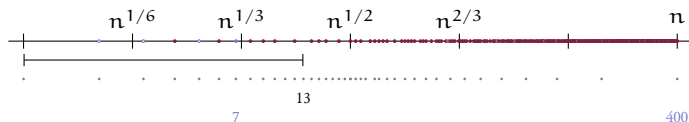


$$\underbrace{dp[26]}_{\substack{S_2(14) \\ =7}} \leftarrow \underbrace{|\{v \in (\mathbb{N} \setminus \mathbb{P}) \mid v \leq 14, \sqrt[6]{n} < \text{lpf}(v) < n^{2/3}\}|}_{\substack{\{9\} \\ =1}}$$

$$dp[26] = S_7(14) = 6$$

Figure: アルゴリズムの動き

# 列挙した合成数を DP 配列に反映

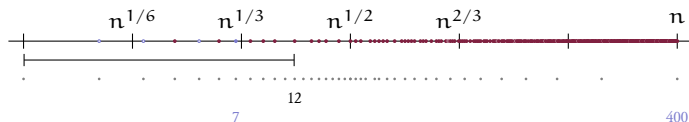


$$\underbrace{dp[27]}_{\substack{S_2(13) \\ =7}} \leftarrow \underbrace{|\{v \in (\mathbb{N} \setminus \mathbb{P}) \mid v \leq 13, \sqrt[6]{n} < \text{lpf}(v) < n^{2/3}\}|}_{\substack{|\{9\}| \\ =1}}$$

$$dp[27] = S_7(13) = 6$$

Figure: アルゴリズムの動き

# 列挙した合成数を DP 配列に反映

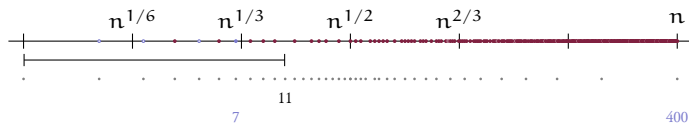


$$\underbrace{dp[28]}_{\substack{S_2(12) \\ =6}} \leftarrow \underbrace{|\{v \in (\mathbb{N} \setminus \mathbb{P}) \mid v \leq 12, \sqrt[6]{n} < \text{lpf}(v) < n^{2/3}\}|}_{\substack{|\{9\}| \\ =1}}$$

$$dp[28] = S_7(12) = 5$$

Figure: アルゴリズムの動き

# 列挙した合成数を DP 配列に反映

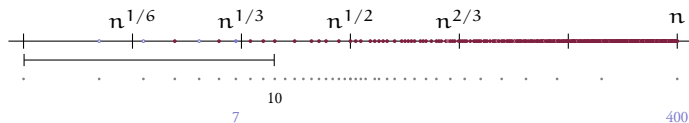


$$\underbrace{dp[29]}_{\substack{S_2(11) \\ =6}} \leftarrow \underbrace{|\{v \in (\mathbb{N} \setminus \mathbb{P}) \mid v \leq 11, \sqrt[6]{n} < \text{lpf}(v) < n^{2/3}\}|}_{\substack{\{9\} \\ =1}}$$

$$dp[29] = S_7(11) = 5$$

Figure: アルゴリズムの動き

# 列挙した合成数を DP 配列に反映

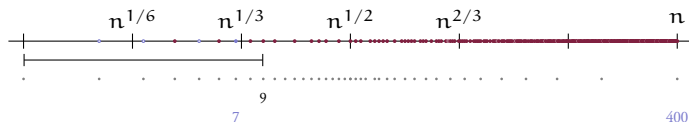


$$\underbrace{dp[30]}_{\substack{S_2(10) \\ =5}} \leftarrow \underbrace{|\{v \in (\mathbb{N} \setminus \mathbb{P}) \mid v \leq 10, \sqrt[6]{n} < \text{lpf}(v) < n^{2/3}\}|}_{\substack{|\{9\}| \\ =1}}$$

$$dp[30] = S_7(10) = 4$$

Figure: アルゴリズムの動き

# 列挙した合成数を DP 配列に反映

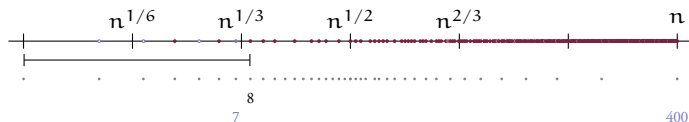


$$\underbrace{\text{dp}[31]}_{\substack{S_2(9) \\ =5}} \leftarrow \underbrace{|\{v \in (\mathbb{N} \setminus \mathbb{P}) \mid v \leq 9, \sqrt[6]{n} < \text{lpf}(v) < n^{2/3}\}|}_{\substack{|\{9\}| \\ =1}}$$

$$\text{dp}[31] = S_7(9) = 4$$

Figure: アルゴリズムの動き

# 列挙した合成数を DP 配列に反映



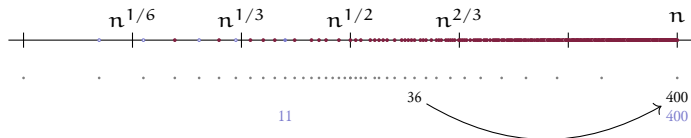
$$\underbrace{dp[32]}_{\substack{S_2(8) \\ =4}} \leftarrow \underbrace{|\{v \in (\mathbb{N} \setminus \mathbb{P}) \mid v \leq 8, \sqrt[6]{n} < \text{lpf}(v) < n^{2/3}\}|}_{\substack{\{ \} \\ =0}}$$

$$dp[32] = S_7(8) = 4$$

Figure: アルゴリズムの動き



# $n^{1/2}$ 以下の素数で Lucy DP

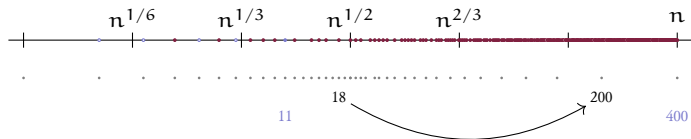


$$\underbrace{dp[1]}_{S_7(400)=94} \leftarrow \underbrace{dp[11]}_{S_7(36)=11} - \underbrace{\pi(11-1)}_4$$

$$dp[1] = S_{11}(400) = 87$$

Figure: アルゴリズムの動き

# $n^{1/2}$ 以下の素数で Lucy DP

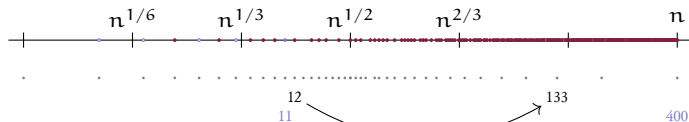


$$\underbrace{dp[2]}_{S_7(200)=50} \leftarrow \underbrace{dp[22]}_{S_7(18)=7} - \underbrace{\pi(11-1)}_4$$

$$dp[2] = S_{11}(200) = 47$$

Figure: アルゴリズムの動き

# $n^{1/2}$ 以下の素数で Lucy DP

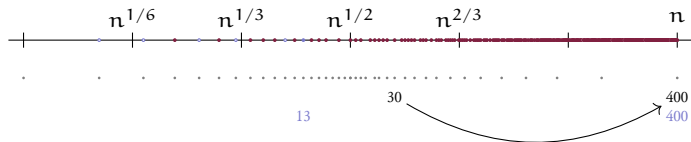


$$\underbrace{dp[3]}_{s_7(133)=33} \leftarrow \underbrace{dp[28]}_{s_7(12)=5} - \underbrace{\pi(11-1)}_4$$

$$dp[3] = s_{11}(133) = 32$$

Figure: アルゴリズムの動き

# $n^{1/2}$ 以下の素数で Lucy DP

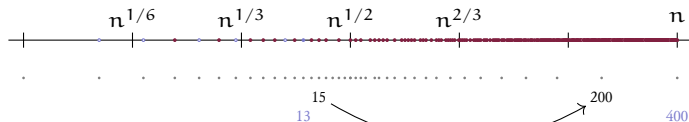


$$\underbrace{\text{dp}[1]}_{S_{11}(400)=87} \leftarrow \underbrace{\text{dp}[13]}_{S_{11}(30)=10} - \underbrace{\pi(13-1)}_5$$

$$\text{dp}[1] = S_{13}(400) = 82$$

Figure: アルゴリズムの動き

# $n^{1/2}$ 以下の素数で Lucy DP

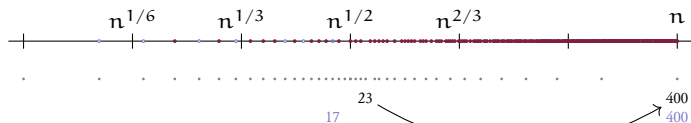


$$\underbrace{dp[2]}_{S_{11}(200)=47} \leftarrow \underbrace{dp[25]}_{S_{11}(15)=6} - \underbrace{\pi(13-1)}_5$$

$$dp[2] = S_{13}(200) = 46$$

Figure: アルゴリズムの動き

# $n^{1/2}$ 以下の素数で Lucy DP

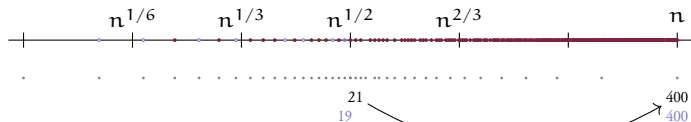


$$\underbrace{\text{dp}[1]}_{S_{13}(400)=82} \leftarrow \underbrace{\text{dp}[17]}_{S_{13}(23)=9} - \underbrace{\pi(17-1)}_6$$

$$\text{dp}[1] = S_{17}(400) = 79$$

Figure: アルゴリズムの動き

# $n^{1/2}$ 以下の素数で Lucy DP



$$\underbrace{dp[1]}_{S_{17}(400)} \leftarrow \underbrace{dp[19]}_{S_{17}(21)} - \underbrace{\pi(19-1)}_7$$

$\begin{matrix} =79 & =8 \end{matrix}$

$$dp[1] = S_{19}(400) = 78$$

Figure: アルゴリズムの動き

## おわり

$p_{\pi(\sqrt{400})} = 19$  であり、 $S_{19}(400) = \pi(400) = 78$  が求められた。



## おまけ

約数の総和を求める関数  $\sigma_1$  について、

$$\sigma_1 \left( \prod_{p: \text{prime}} p^{e_p} \right) = \prod_{p: \text{prime}} \frac{p^{e_p+1} - 1}{p - 1}$$

が成り立つ。特に、 $\sigma_1(p) = p + 1$  である。よって、今回の手法で各整数の“約数の和”の総和は  $\Theta(n^{2/3})$  時間で得られる<sup>30</sup>。

---

<sup>30</sup> ハンマーを持つとすべてが釘に見えるが、これは  $O(\sqrt{n})$  時間で解ける。これは harmonic floor sum (fraction harmonic sum) と同じ方針で解ける。  
各約数  $j$  の寄与を考える。  $n$  以下の正整数のうち、  $j$  の倍数は  $\lfloor n/j \rfloor$  個あり、  
寄与への寄与は  $\lfloor n/j \rfloor \cdot j$  となる。そのため、  $\sum_{j=1}^n \lfloor n/j \rfloor \cdot j$  を求めればよいが、